

BULLETIN DES RELEVÉS NIVOMÉTRIQUES ET DES PRÉVISIONS HYDROLOGIQUES DU YUKON

Le 1^{er} avril 2026



Rédigé et publié par :
Direction des sciences et de l'intendance de l'eau
Ministère de l'Environnement

**Yukon**

PRÉFACE

Le Bulletin des relevés nivométriques et des prévisions hydrologiques du Yukon est publié trois fois par année – au début des mois de mars, d'avril et de mai – par la Direction des sciences et de l'intendance de l'eau du ministère de l'Environnement. Il présente un sommaire de la situation météorologique et des cours d'eau en hiver au Yukon, ainsi que des mesures de l'épaisseur de la neige et de l'équivalent en eau de la neige prises dans 57 stations. Ces mesures servent à évaluer les probabilités d'inondations printanières dues aux débâcles et aux fortes crues provoquées par la fonte des neiges. Il est à noter que d'autres phénomènes, comme les pluies estivales et la fonte des glaciers, peuvent influencer considérablement sur les niveaux d'eau maximaux annuels dans certains bassins hydrographiques du territoire.

Pour en savoir plus sur le Bulletin, l'accumulation de neige ou les prévisions de ruissellement, veuillez écrire à waterlevels@yukon.ca

Direction des sciences et de l'intendance de l'eau, ministère de l'Environnement
867-667-3171, sans frais (au Yukon, aux T.N.-O. et au Nunavut) : 1-800-661-0408, poste 3171
Télécopieur : 867-667-3195 | Courriel : waterscience@yukon.ca

On peut consulter le présent bulletin et les bulletins précédents en ligne à yukon.ca/fr/relevés-nivométriques.

ISSN 1705-883X

Veuillez utiliser le titre suivant pour citer le présent document :

Bulletin des relevés nivométriques et des prévisions hydrologiques du Yukon, 1^{er} avril 2026

© Avril 2026

Direction des sciences et de l'intendance de l'eau
Ministère de l'Environnement
Gouvernement du Yukon
C.P. 2703, Whitehorse (Yukon) Y1A 2C6

AVIS DE NON-RESPONSABILITÉ

L'utilisateur comprend qu'il se sert des données à ses propres risques. Il lui revient de vérifier l'exactitude, la disponibilité, la pertinence, la fiabilité, l'utilité, l'exhaustivité et l'actualité des données.

L'utilisateur accepte les données « telles quelles » et reconnaît que le gouvernement du Yukon ne fait aucune déclaration ni ne donne aucune garantie, expresses ou implicites, quant à l'exactitude, à la disponibilité, à la pertinence, à la fiabilité, à l'utilité, à l'exhaustivité et à l'actualité des données, y compris de garanties implicites de qualité marchande ou d'adaptation à un usage particulier et d'absence de contrefaçon.

En ce qui concerne l'accès aux données, l'utilisateur convient que le gouvernement du Yukon ne sera jamais tenu responsable (ni soumis à une obligation délictuelle ou contractuelle), pour quelque raison que ce soit, envers lui ou une entité juridique, de l'exactitude, de la disponibilité, de la pertinence, de la fiabilité, de l'utilité, de l'exhaustivité et de l'actualité des données, y compris des pertes de revenus ou de profits ou encore des dommages directs, indirects, particuliers, accessoires ou consécutifs attribuables à l'utilisation des données ou en découlant.

REMERCIEMENTS

Le Bulletin des relevés nivométriques fait partie du Programme des relevés nivométriques du Yukon, qui relève de la Direction des sciences et de l'intendance de l'eau du ministère de l'Environnement du Yukon. La Direction veut assurer l'intendance de l'eau au Yukon et exercer une surveillance responsable et collaborative pour orienter la gestion et la protection des eaux du territoire.

Nous sommes reconnaissants de pouvoir surveiller les niveaux de neige et d'eau sur les territoires des 14 Premières Nations du Yukon et de collaborer avec bon nombre d'entre elles pour différents aspects de notre travail. Bien que les conclusions transmises dans le présent rapport se fondent principalement sur des observations faites sur le terrain et sur des données scientifiques, nous reconnaissons le lien profond et millénaire des Premières Nations du Yukon avec la neige et l'eau ainsi que leur grand savoir en la matière.

Pour recueillir des données nivométriques sur l'ensemble de notre vaste territoire, nous devons travailler avec plusieurs partenaires. Nous souhaitons donc remercier les organisations et les personnes suivantes pour leur importante contribution au Bulletin des relevés nivométriques :

- *Gestionnaire du programme des relevés nivométriques en Alaska, Service de la conservation des ressources naturelles, département de l'Agriculture des États-Unis*
- *Météorologue en chef, Section de la gestion des feux de forêt, ministère des Services aux collectivités du Yukon, Whitehorse*
- *Superviseurs et technologues en hydrométrie, Relevés hydrologiques du Canada, Whitehorse*
- *Gardiens des terres, Première Nation des Gwitchin Vuntut*
- *Opérateurs des centrales hydroélectriques, Société d'énergie du Yukon*
- *Technologues de la recherche, Université McMaster*

Organismes collaborant avec le ministère de l'Environnement au Programme des relevés nivométriques :

- *Ministère de l'Environnement de la Colombie-Britannique, Division de l'intendance de l'eau*
- *Première Nation de Carcross/Tagish*
- *Parcs Canada, parc national et réserve de parc national Kluane*
- *Première Nation des Gwitchin Vuntut*
- *Ministère de l'Énergie, des Mines et des Ressources du Yukon, Direction de la conformité, de la surveillance et des inspections*
- *Ministère de la Voirie et des Travaux publics du Yukon*
- *Société d'énergie du Yukon*

NOUVEAUTÉS DANS CE BULLETIN

Changement de nom

- La Direction des ressources en eau a été renommée la Direction des sciences et de l'intendance de l'eau afin de mieux représenter l'expertise de son équipe et son rôle, avec ses partenaires, d'intendant des eaux. Il est à noter que ce changement n'a pas d'incidence sur les activités de la Direction. On peut la joindre au 867-667-3171 ou à waterscience@yukon.ca pour les demandes générales et à waterlevels@yukon.ca pour toute question sur les prévisions.

Disponibilité des données

- En janvier 2026, la Direction a lancé l'[explorateur de données sur l'eau](#), un site Web à partir duquel on peut consulter et visualiser les données sur l'eau tirées du réseau de surveillance du gouvernement du Yukon et des réseaux de ses partenaires. Ce site Web complète l'application sur les [conditions hydrologiques](#), une interface conviviale où il est possible de consulter les conditions de neige, et les niveaux et les débits d'eau enregistrés aux stations de surveillance. Les deux outils sont accessibles à partir du [site Web sur les inondations](#) à l'onglet [Données](#).
- La carte la plus récente illustrant l'équivalent en eau de la neige est accessible sur le [site Web sur les inondations](#) à l'onglet [Prévisions saisonnières](#). Sur la carte interactive, on peut cliquer sur des bassins versants ou des stations d'échantillonnage (des coussins à neige dans certains cas) pour voir les valeurs absolues en millimètres d'équivalent en eau de la neige et en pourcentage des valeurs historiques.

Changements relatifs aux stations

- En 2025, des coussins à neige ont été installés aux stations du mont Montana (09AA-M3) et de Tagish (09AA-M1). La station du mont Montana a été installée en 2023 en collaboration avec la Première Nation de Carcross/Tagish. Le coussin à neige de Tagish a remplacé l'équipement qui était sur place pour continuer l'enregistrement de l'équivalent en eau de la neige qui se fait depuis plusieurs décennies.
- Une nouvelle station météorologique, celle de la rivière Fishing Branch (09FA-M1), a été établie dans le parc territorial Ní'íinlii'Njik en septembre 2025. Elle enregistre de façon continue l'accumulation de neige, entre autres données.
- Un nouveau parcours nivométrique a été établi sur le mont Crow (09FD-SC02) près d'Old Crow en 2025.
- Les parcours nivométriques comptant deux points d'échantillonnage distincts s'affichent maintenant comme une seule donnée composite. Quatre parcours nivométriques sont touchés par ce changement : Aéroport de Whitehorse (09AB-SC02), Ruisseaux Twin (09BA-SC02), Aéroport de Mayo (09DC-SC01) et Rivière Hyland (10AD-SC01). Les notes sous le tableau 1 donnent des explications supplémentaires sur les méthodes utilisées pour compiler les données composites et sur les données historiques qui ont été transformées pour tenir compte des variations entre les emplacements appariés, améliorant ainsi les comparaisons historiques.

- La station météorologique de Log Cabin (09AA-M2) a été installée en juin 2023 (figure A3). Les plages de données enregistrées par le coussin à neige ont été élargies en reculant la série chronologique dans le temps en utilisant des estimations composites de deux indicateurs indirects :
 1. les séries de l'équivalent en eau de la neige du 1^{er} mars au 1^{er} mai (ou au 15 mai si elles sont disponibles) ont été créées par l'interpolation linéaire des résultats des relevés nivométriques discrets de 1980 à 2023 du parcours nivométrique adjacent de Log Cabin;
 2. les séries de l'équivalent en eau de la neige pour l'accumulation de neige hâtive (du 1^{er} octobre au 1^{er} mars) et la fonte printanière (du 1^{er} mai au 15 juin) sont dérivées d'estimations de la densité de la neige historiques moyennes observées sur le parcours nivométrique de Log Cabin et de la série continue de l'épaisseur de la neige de la station météorologique Fraser exploitée par Avalanche Canada entre novembre 2019 et juin 2023.

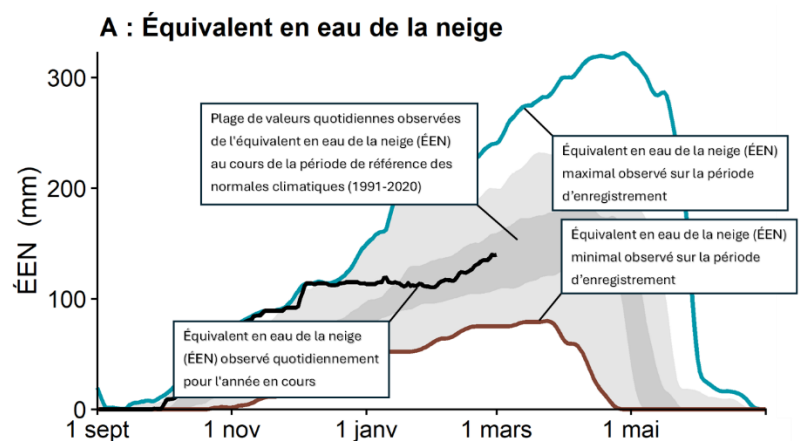
Changements apportés au Bulletin

- Une normale climatique est maintenant calculée pour tous les paramètres. Cette normale correspond à la médiane de la période de référence actuelle, soit d'octobre 1990 à septembre 2020. La période de référence se fonde sur des années hydrologiques par opposition aux années civiles. Voilà qui est important, car l'accumulation de neige commence à se former à l'automne et influence les niveaux et les débits d'eau de l'été suivant. La plage de la normale est représentée par les trames grises dans les graphiques, où l'on voit également les limites maximale et minimale historiques.
- Le Bulletin contient une nouvelle section intitulée « Interprétation du Bulletin ». Ses figures annotées facilitent l'interprétation de l'information présentée.
- Auparavant, les cartes des températures et des précipitations du 1^{er} avril et du 1^{er} mai affichaient les anomalies du mois précédent, tandis que les cartes du 1^{er} mars affichaient les anomalies d'octobre à février. Les cartes des températures et des précipitations du 1^{er} avril et du 1^{er} mai afficheront maintenant également les anomalies cumulatives d'octobre jusqu'au mois précédent pour mieux résumer l'hiver à ce jour.

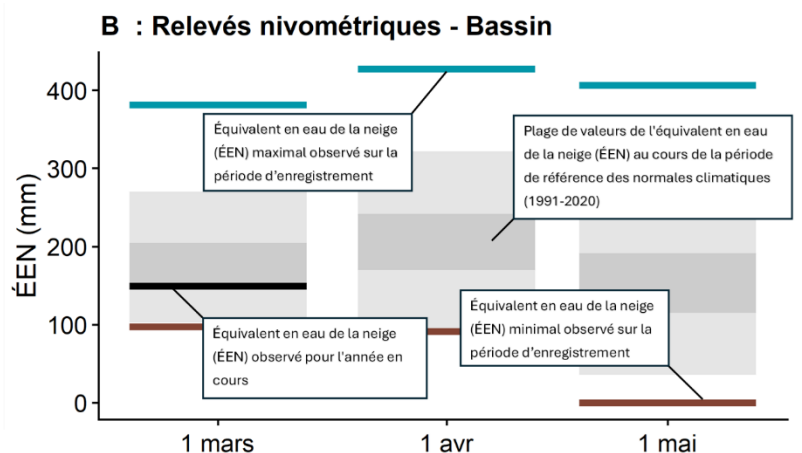
INTERPRÉTATION DU BULLETIN

Les conditions météorologiques hivernales à ce jour sont présentées sur deux cartes : l'une illustrant les anomalies de températures (écarts par rapport à la normale) et l'autre les anomalies de précipitations (pourcentage de la normale). Une troisième carte présente l'accumulation de neige sous forme d'équivalent en eau de la neige (ÉÉN) exprimé en pourcentage de la normale pour chaque station, de même que l'ÉÉN estimé moyen pour 11 bassins hydrographiques. Si possible, des données météorologiques et hydrologiques complémentaires sont communiquées pour chaque bassin au moyen d'une série de graphiques (voir ci-après). Les bassins ne sont pas tous équipés des instruments permettant de relever des données pour chacune des cinq figures. La normale correspond à la médiane calculée sur une période de référence fixe, soit d'octobre 1990 à septembre 2020. Les trames grises représentent les données de la période de référence : une bande gris pâle supérieure pour les données supérieures à la moyenne, une bande gris foncé pour les données dans la moyenne et une bande gris pâle inférieure pour les données inférieures à la moyenne.

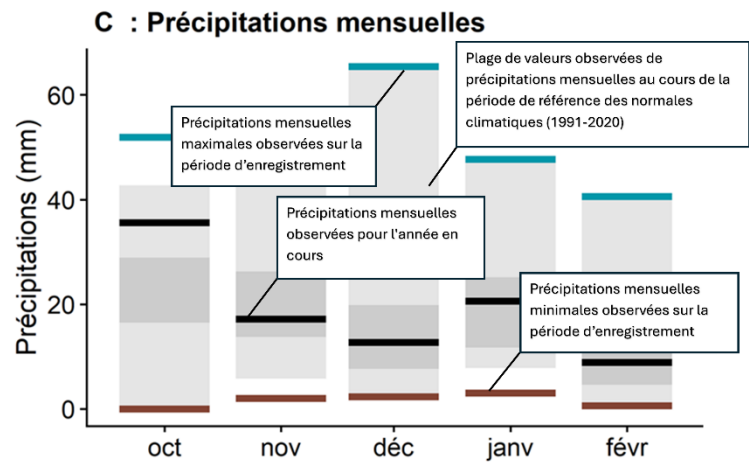
- **Figure A :** ÉÉN quotidien à partir de septembre à un endroit précis du bassin hydrographique qui montre l'évolution de l'accumulation de neige durant l'hiver (ligne noire) par rapport aux données historiques de la période de référence d'octobre 1990 à septembre 2020 (trames grises) avec les limites historiques maximale et minimale (lignes bleues et brunes, respectivement) sur la période de relevé.



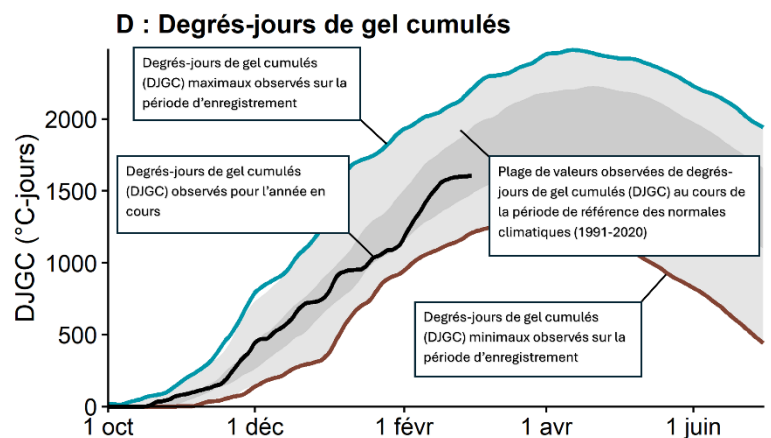
- **Figure B :** Estimation de l'ÉÉN moyen du bassin d'après les relevés nivométriques (ligne noire) par rapport aux données historiques de la période de référence d'octobre 1990 à septembre 2020 (trames grises) avec les limites historiques maximale et minimale (lignes bleues et brunes, respectivement) sur la période de relevé. Cette estimation sert d'indicateur du volume de ruissellement possible au printemps (en tenant compte du fait que la sublimation de la neige, l'évapotranspiration, la pluie et la fonte des glaciers influent considérablement sur le ruissellement).



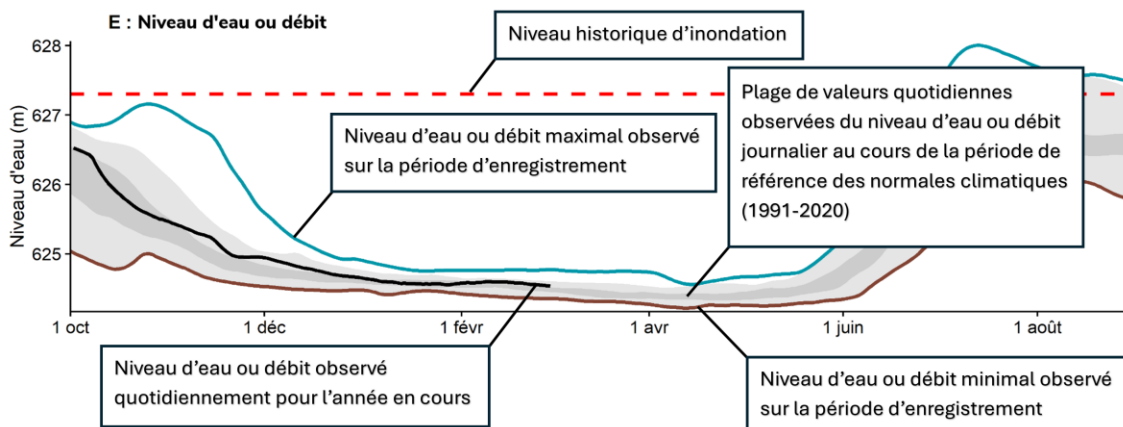
- **Figure C :** Précipitations hivernales mensuelles (pluie et neige; ligne noire) par rapport aux données historiques de la période de référence d'octobre 1990 à septembre 2020 (trames grises) avec les limites historiques maximale et minimale (lignes bleues et brunes, respectivement) sur la période de relevé. Ces données complètent celles illustrées à la figure B.



- **Figure D :** Degrés-jours de gel cumulés (somme des températures quotidiennes inférieures à zéro; ligne noire) par rapport aux données historiques de la période de référence d'octobre 1990 à septembre 2020 (trames grises) avec les limites historiques maximale et minimale (lignes bleues et brunes, respectivement) sur la période de relevé. Il s'agit d'un indicateur de la rigueur de l'hiver et de l'épaisseur de la glace fluviale, des variables qui influent sur la débâcle printanière.



- **Figure E :** Estimation du débit quotidien ou du niveau d'eau mesuré (ligne noire) par rapport aux données historiques de la période de référence d'octobre 1990 à septembre 2020 (trames grises) avec les limites historiques maximale et minimale (lignes bleues et brunes, respectivement) sur la période de relevé. Elle donne un aperçu des conditions hydrologiques du bassin. Le niveau d'inondation correspond à l'élévation la plus basse à laquelle une inondation pourrait survenir.



CONDITIONS MÉTÉOROLOGIQUES ET NIVOLOGIQUES

L'hiver 2025-2026 a été marqué par de fortes variations climatiques. Le début de l'hiver a été très doux et relativement sec en octobre et en novembre. En décembre, la saison a repris ses droits et a été marquée par une période de froid extrême qui n'avait pas été vue depuis des décennies et des chutes de neige records dans le sud du Yukon. L'accumulation de neige et les degrés-jours de gel cumulés ont rapidement rattrapé les normales avant de les dépasser, battant des records en cours de route. Les températures se sont adoucies en janvier, bien que de nombreuses régions aient continué à connaître des chutes de neige supérieures à la normale, une situation qui s'est poursuivie en février. Des records de températures ont aussi été battus en mars, qui a été le mois plus froid jamais enregistré pour presque toutes les régions du territoire, faisant grimper les degrés-jours de gel cumulés au-delà du 75^e centile de la normale dans bon nombre de stations. Les observations ont été plus variées pour les précipitations, mais Whitehorse a reçu environ trois fois plus de neige que la normale en mars. L'accumulation de neige relative la plus élevée se trouve sur le plateau du Yukon et s'étend vers le sud-est, jusque dans le bassin de la rivière Liard. En revanche, le bassin de la rivière Stewart a été nettement plus sec que les autres régions.

Octobre

Une crête atmosphérique en altitude s'est attardée sur le territoire pendant la majeure partie du mois, ce qui a entraîné des températures plus douces que la normale. En ce qui a trait aux précipitations, des conditions plus sèches ont été constatées sur une grande partie du territoire, sauf à Burwash Landing et à Dawson, où elles ont été, respectivement, près de la normale et plus humides que la normale.

Novembre

De l'air tiède venu du sud a continué de souffler sur le territoire, maintenant les températures supérieures à la normale dans tout le Yukon. Dans la deuxième semaine de novembre, une dépression au-dessus du golfe d'Alaska a amené de fortes chutes de neige dans le sud du territoire. Toutefois, des conditions relativement sèches ont persisté pendant le reste du mois. Quant aux anomalies des précipitations, les conditions ont été plus sèches que la normale à Watson Lake, Burwash Landing et Mayo, où les précipitations enregistrées ont été respectivement d'environ 42 %, 40 % et 46 % des précipitations normales totales.

Décembre

Décembre a été marqué par des conditions météorologiques d'une grande variabilité. En effet, une haute pression arctique au-dessus du territoire a entraîné un froid extrême persistant. Plus précisément, la température mensuelle moyenne à Whitehorse a été de 12,8 degrés inférieure à la normale, tandis que Faro et Mayo ont enregistré des températures de 14,2 et 14,6 degrés en deçà des normales. À certains moments, ce froid s'est accompagné d'air humide en provenance du golfe d'Alaska, passant par-dessus la masse d'air froid de surface et provoquant de fortes chutes de neige dans le sud du Yukon. Par conséquent, Whitehorse, Watson Lake et Burwash Landing ont enregistré respectivement 418 %, 324 % et 220 % de leurs précipitations mensuelles totales habituelles pour décembre. En revanche, à Dawson et à Old Crow les anomalies de précipitations ont été près des normales, tandis que Mayo a connu des conditions plus sèches, avec seulement 38 % de ses précipitations mensuelles totales.

Janvier

En janvier, les températures se sont maintenues près des normales voire légèrement au-dessus dans le sillage de l'anticyclone arctique. En ce qui concerne les précipitations, des conditions plus humides que la normale ont été constatées sur la majorité du territoire. À Dawson, les précipitations ont atteint 238 % de la normale totale. En revanche, les conditions ont été plus sèches à Burwash Landing, où les précipitations ont atteint 78 % de la normale totale.

Février

En février, les températures sont restées dans les normales pour tout le Yukon, quoiqu'elles aient été plus froides que la normale à Mayo. Les précipitations sont demeurées humides sur une grande partie du centre et du sud du Yukon; elles ont été près des normales à Old Crow.

Mars

Le temps froid a persisté jusqu'à la fin du mois, qui a été le plus froid jamais enregistré dans la plupart des stations du Yukon. Des anomalies de température moyenne de 8 à 11 °C sous la normale ont été enregistrées sur la majeure partie du territoire; l'écart a été moins grand à Old Crow, où les températures se sont maintenues environ 4 °C en dessous de la normale. Le portrait des précipitations a été plus variable : l'accumulation de neige a été bien supérieure à la normale dans le sud du Yukon (au-delà de 300 % à Whitehorse), supérieure à la normale près de Dawson et près de la normale dans les autres régions, et les conditions ont été très sèches à Old Crow (14 % de la normale). Ces conditions sont attribuables à la persistance d'une masse d'air arctique au-dessus du nord du Canada, conjuguée avec un blocage en hautes latitudes au-dessus de la mer de Béring qui a limité l'influence du Pacifique et fait durer les températures froides au Yukon.

Accumulation de neige

Les données sur l'accumulation de neige pour le territoire sont présentées sur la carte 3, ci-dessous, qui montre l'ÉEN exprimé en pourcentage de la normale pour chaque station, de même que l'ÉEN estimé moyen pour 11 bassins hydrographiques. Pour 2026, les résultats des relevés nivométriques sont comparés avec les données historiques d'une période de référence normale (la période de référence 1991-2020). La normale correspond à la médiane de la période de référence d'octobre 1990 à septembre 2020. Il est à noter que la période de référence utilise des années hydrologiques et non pas des années civiles. Il s'agit là d'une précision importante, car l'accumulation de neige commence à se former à l'automne et influence les niveaux et les débits d'eau de l'été suivant.

Selon le relevé nivométrique du 1^{er} avril, l'accumulation de neige varie : elle se situe près de la normale dans le bassin de la rivière Stewart et bien au-delà de la normale dans le bassin de la rivière White. Bien que l'accumulation de neige soit plus que considérable dans bien des régions, elle ne bat pas les records de 2022.

Au 1^{er} avril, l'accumulation est bien supérieure à la normale dans le bassin de la rivière White (164 %), le bassin central du fleuve Yukon (région de Carmacks) (158 %), le bassin de la rivière Liard (155 %), le bassin des rivières Teslin et Big Salmon (153 %) et le bassin de la rivière Peel. L'accumulation est supérieure à la normale dans le bassin supérieur du fleuve Yukon (lacs du Sud/Whitehorse) (132 %), le bassin inférieur du fleuve Yukon (région de Dawson et du Klondike) (132 %), les bassins des rivières Pelly (127 %) et Porcupine (125 %) et le bassin du fleuve Alsek (120 %). L'accumulation de neige est près de la normale dans le bassin de la rivière Stewart (110 %)

CONDITIONS D'ÉCOULEMENT ET PERSPECTIVES

L'estimation de l'écoulement hivernal (débit de base) repose sur une combinaison de mesures saisonnières périodiques, de données historiques et de tendances régionales. Bien que des mesures aient été prises récemment dans la plupart des stations, il est à noter que les estimations de l'écoulement sont provisoires pour chaque station.

Le débit hivernal des cours d'eau et le niveau des lacs sont présentés pour un ou deux emplacements de référence d'importance dans chaque bassin. L'écoulement hivernal et les niveaux d'eau sont influencés par de nombreux facteurs, notamment l'accumulation de neige de l'hiver précédent, les précipitations annuelles, l'état des eaux souterraines, le moment où a eu lieu le gel et la transformation du paysage. Le débit de base hivernal tend à augmenter partout dans le territoire, une tendance dont fait état le [Rapport sur l'état de l'environnement](#) du Yukon. Les prévisions tendent vers l'humidification du climat du Yukon, mais il est aussi possible que la dégradation du pergélisol contribue à l'accroissement de la recharge des eaux souterraines, ce qui amplifierait le débit de base hivernal.

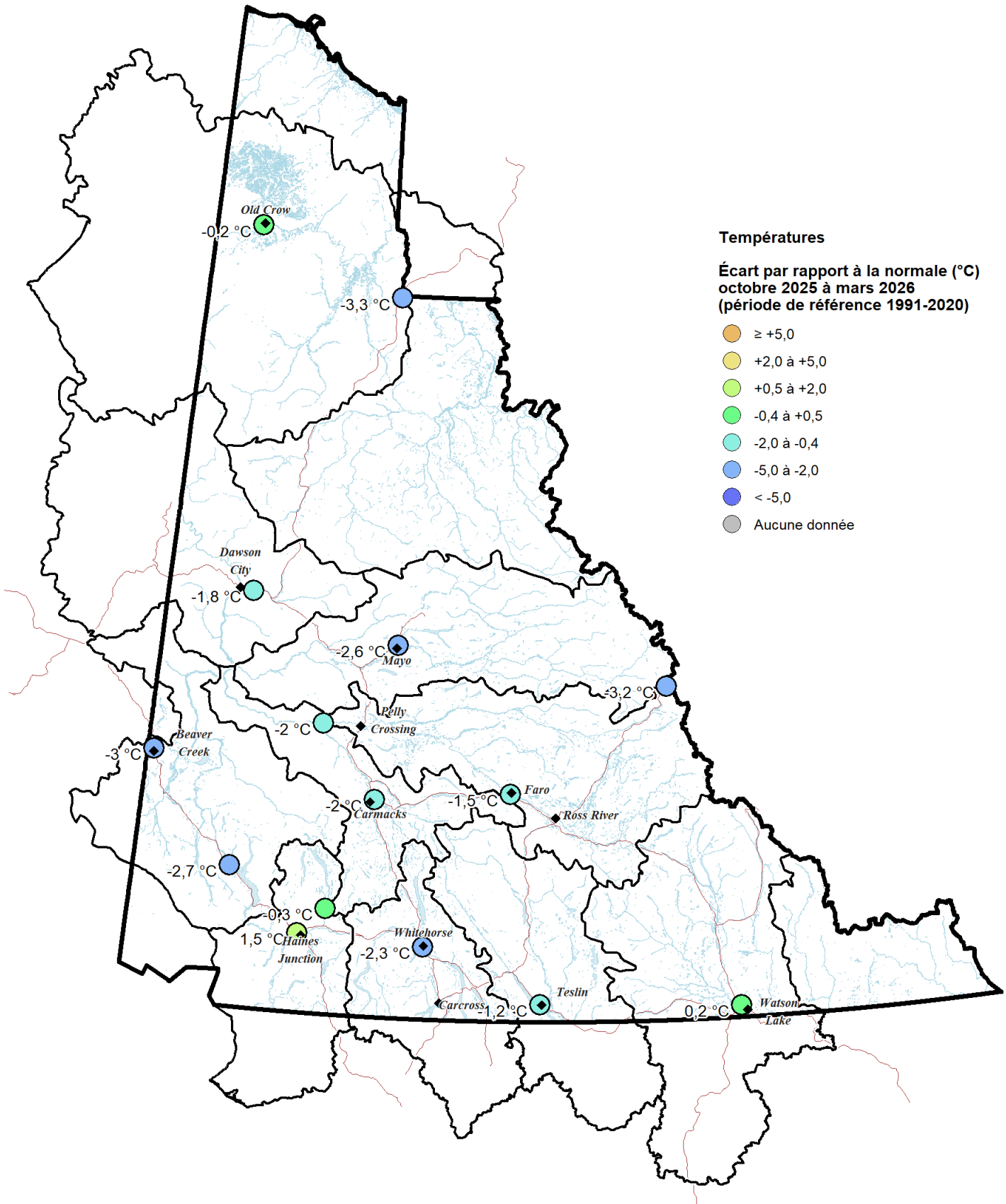
On estime que l'écoulement hivernal (débit de base) actuel est bien supérieur à la normale dans la majeure partie du bassin du fleuve Yukon, à l'exception de la rivière Nordenskiöld près de Carmacks, où il est inférieur à la normale. Le niveau d'eau du lac Marsh et du lac Laberge est également inférieur à la normale. On s'attend à un écoulement de base supérieur à la normale pour la rivière Porcupine; les mesures de fin d'hiver seront prises peu après la publication du présent bulletin. L'écoulement de base de la rivière Peel est supérieur à la normale, tandis qu'il est près de la normale pour la période de l'année selon les estimations pour la rivière Liard et le fleuve Alsek.

Étant donné l'accumulation de neige qui est actuellement supérieure à la normale, la majeure partie du territoire devrait connaître des volumes de crue supérieurs à la normale ou bien supérieurs à la normale. Les rivières Stewart et Mayo et leurs affluents font exception : le volume de crue pourrait être près de la normale, voire légèrement supérieur à la normale.

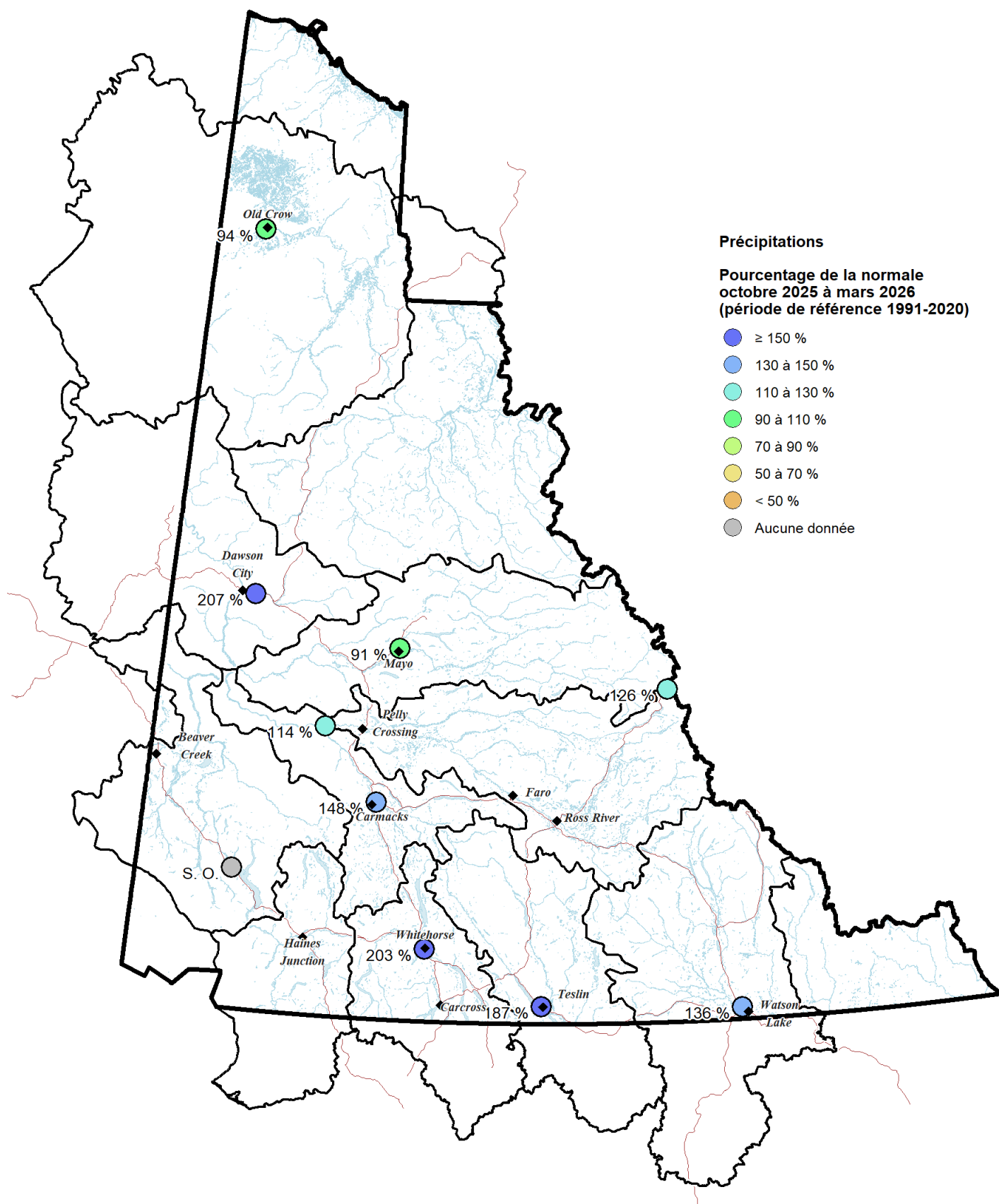
En général, les relevés nivométriques du 1^{er} avril montrent la plus haute valeur de l'équivalent en eau de la neige de l'hiver et constituent le meilleur indicateur du risque d'inondation dû aux crues. L'accumulation de neige actuelle indique un risque d'inondation dû aux crues élevé pour les localités de Teslin, Carmacks, Upper Liard, la vallée du Klondike et Ross River. Il est à noter que l'accumulation dans le bassin de la rivière Teslin est très comparable à celle enregistrée en 2021, une année où la localité a connu des inondations. Autre fait digne de mention, les risques d'inondation sont supérieurs à la normale pour les petits et moyens ruisseaux de la plupart des bassins versants du Yukon. Le risque d'inondation est le plus élevé pour les ruisseaux ayant un grand dénivelé qui traversent une route par un ponton qui pourrait être bloqué par des débris.

L'accumulation de neige dans le bassin inférieur des lacs du Sud est bien supérieure à la normale, mais l'accumulation en altitude est moins grande que celle mesurée dans les années antérieures. En effet, elle se chiffre à 114 % de la normale au parcours nivométrique Log Cabin. Bien que l'accumulation de neige supérieure à la normale augmente le risque d'inondation dans la région des lacs du Sud, ce risque dépend également du moment de la fonte des neiges, des précipitations estivales et de la fonte des glaciers, ce qui rend la situation plus incertaine pour cette région que pour d'autres localités. Le niveau d'eau du lac Marsh qui est resté inférieur à la moyenne tout au long de l'hiver indique également un niveau de l'eau souterraine inférieur à la moyenne, une constatation qui est renforcée par la surveillance en temps réel des eaux souterraines dans plusieurs secteurs de la région.

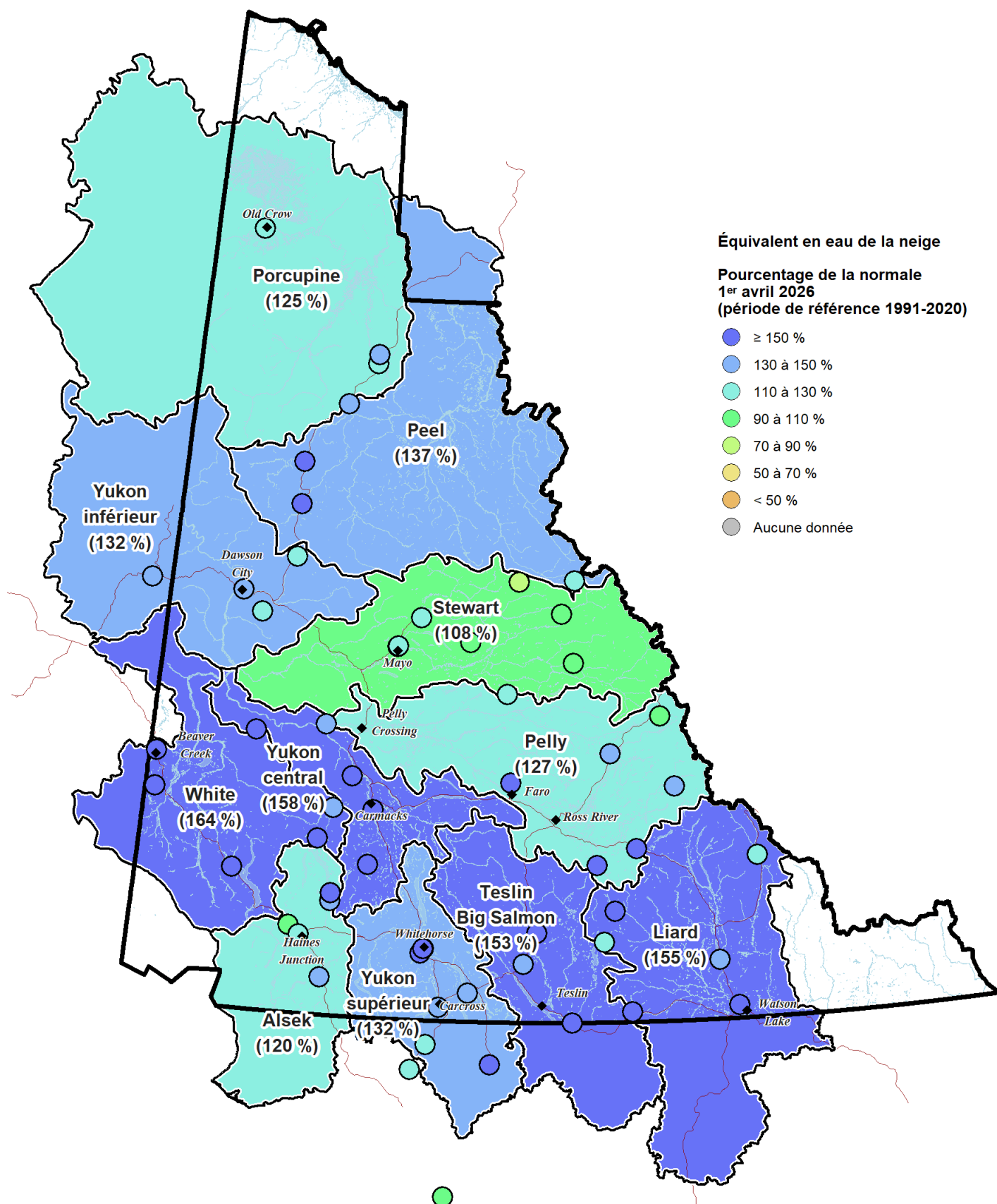
CARTE 1. ANOMALIES DES TEMPÉRATURES



CARTE 2. PRÉCIPITATIONS

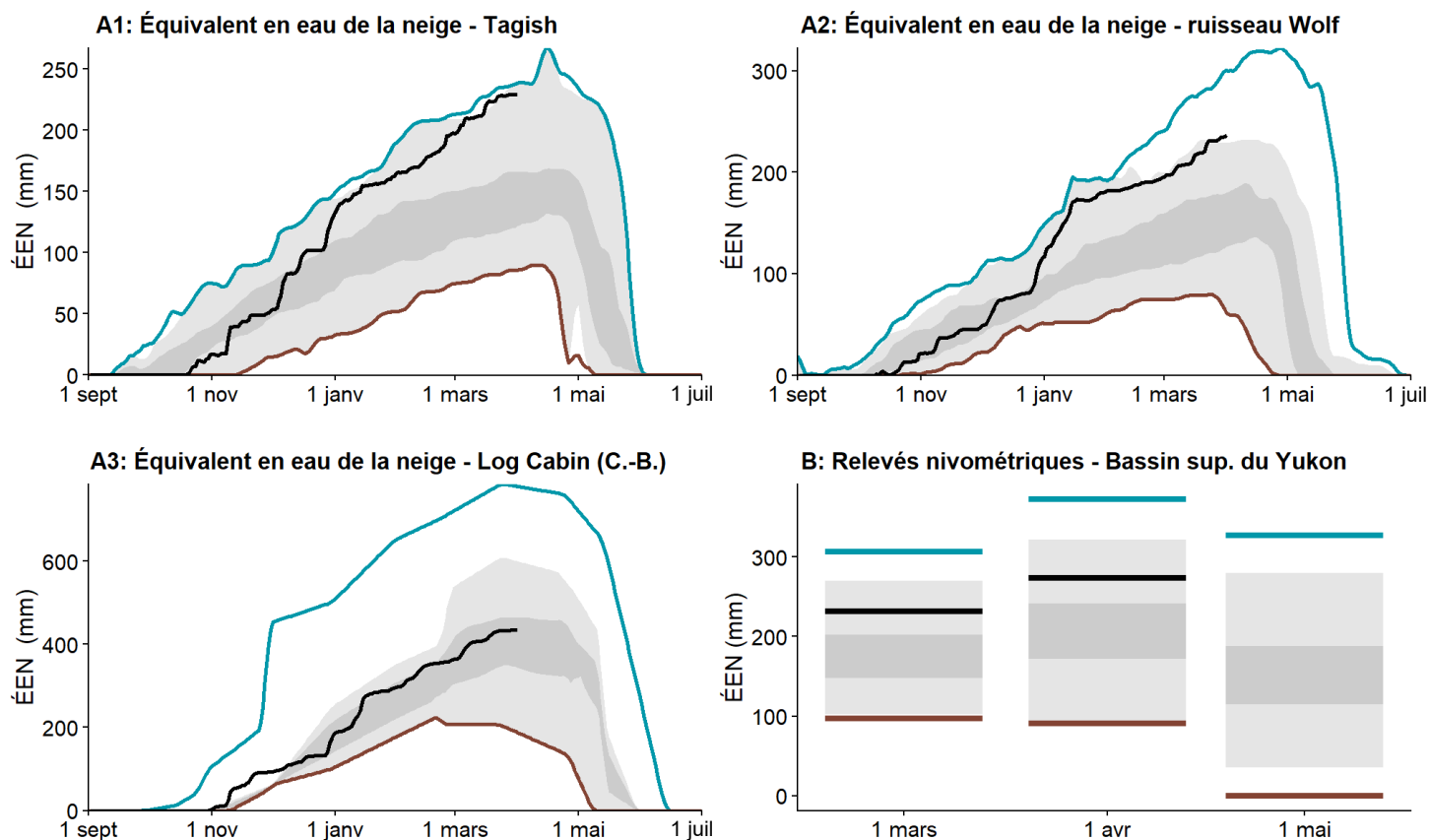


CARTE 3. ÉQUIVALENT EN EAU DE LA NEIGE

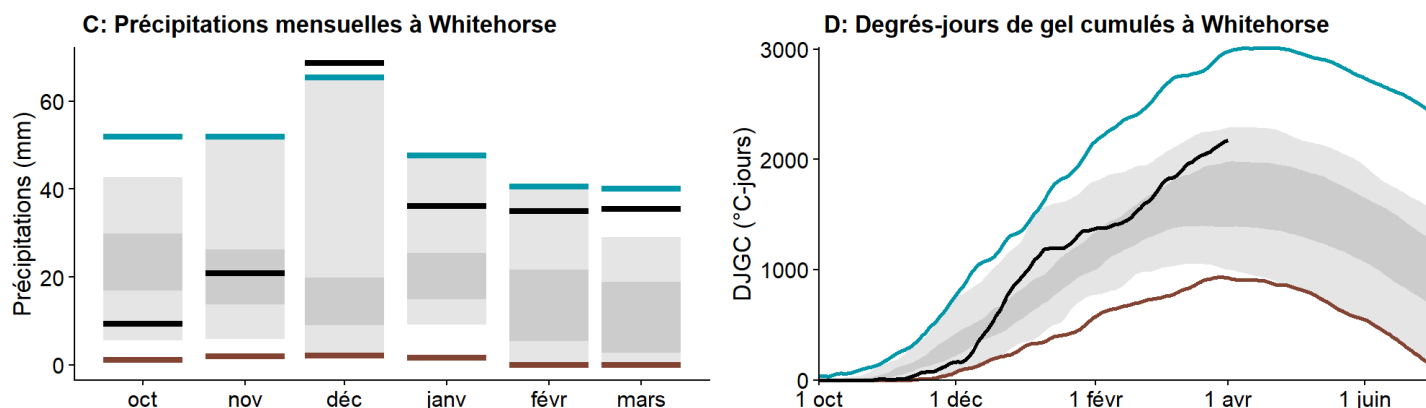


BASSIN SUPÉRIEUR DU FLEUVE YUKON (LACS DU SUD / WHITEHORSE)

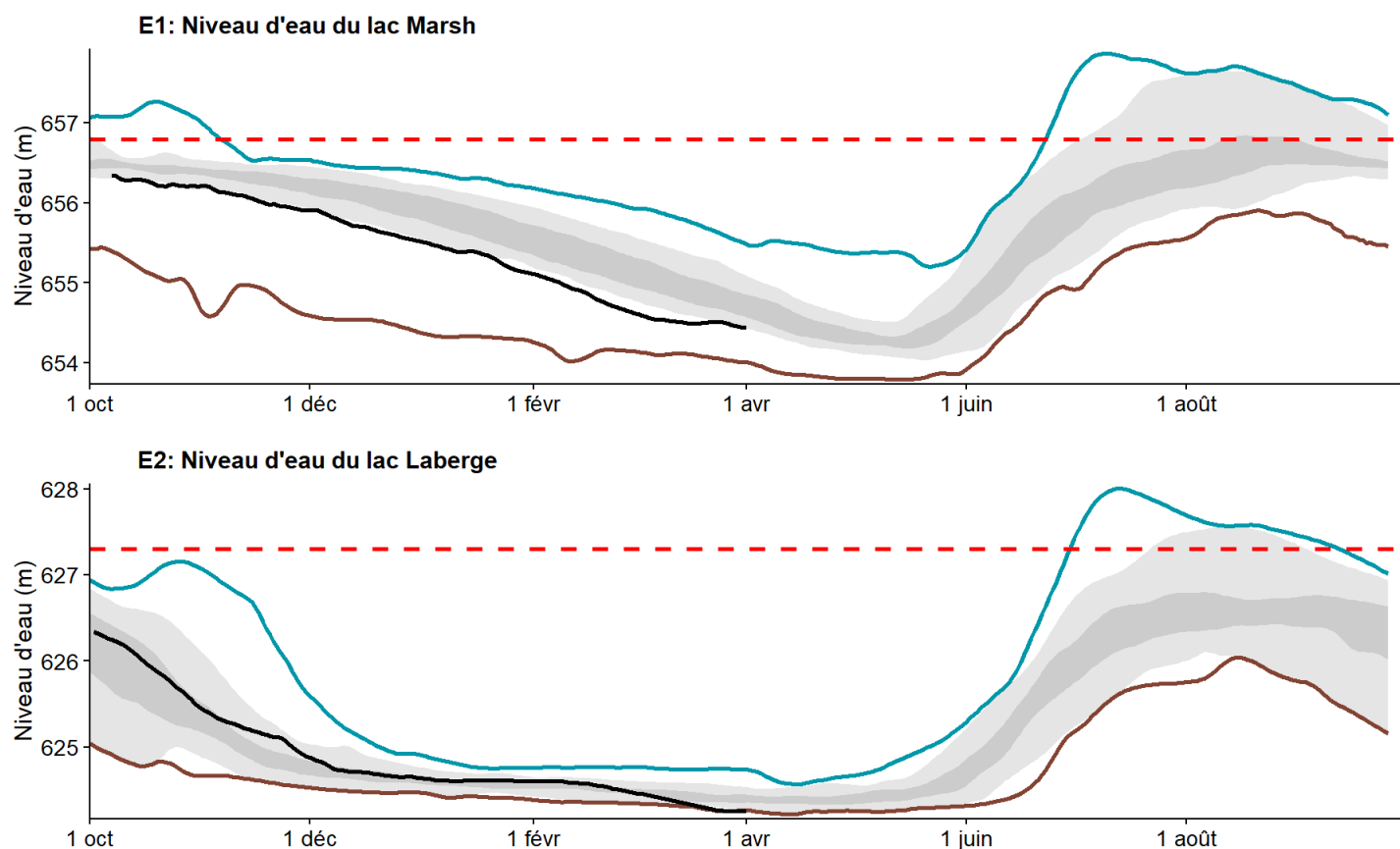
L'accumulation de neige dans le bassin supérieur du fleuve Yukon est **supérieure à la normale**. À la station météorologique de Tagish, l'équivalent en eau de la neige (ÉEN) est estimé à **149 %** de la normale (figure A1), tandis qu'à la station météorologique subalpine du ruisseau Wolf, il est estimé à **175 %** de la normale (figure A2). Installée en 2023, la station météorologique de Log Cabin a enregistré un équivalent en eau de la neige (ÉEN) correspondant à **104 %** de la normale si l'on compare avec les archives du relevé manuel de l'enneigement pour cet emplacement (figure A3). Au 1^{er} avril, l'ÉEN moyen du bassin est estimé à **132 %** de la normale, soit **274 mm** (figure B).



Les précipitations à Whitehorse ont été **bien supérieures à la normale** d'octobre à mars (figure C). Au 1^{er} avril, les précipitations hivernales cumulatives se chiffrent à **203 %** de la normale et les degrés-jours de gel cumulés à **128 %** de la normale, soit **2 170 °C-jours** (figure D), ce qui laisse croire que la couverture de glace sur les lacs et les cours d'eau de la région est plus épaisse que la normale.

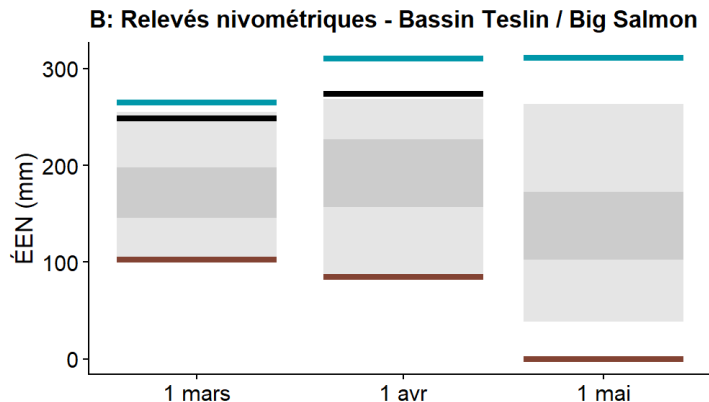


L'élévation de la surface de l'eau (par rapport au niveau de la mer) du lac Marsh est **inférieure à la normale** (figure E1). Les conditions d'enneigement et des eaux souterraines portent à croire que les niveaux d'eau seront **supérieurs à la normale** cet été. Toutefois, les conditions météorologiques au printemps et à l'été exerceront une influence décisive sur le niveau d'eau maximal du lac Marsh, qui est habituellement atteint à la fin de l'été sous l'effet d'un ruissellement glaciaire maximal et de précipitations abondantes. L'élévation de la surface de l'eau du lac Laberge est **bien inférieure à la normale** (figure E2). Le lac Laberge suit une tendance estivale semblable à celle observée dans la partie supérieure des lacs du Sud. On s'attend à ce que son niveau soit **supérieur à la normale** cet été. Un temps doux ou des précipitations donneraient lieu à des débits de pointe et de ruissellement élevés, notamment dans les cours d'eau qui traversent la route de l'Alaska, la route du Klondike Nord et d'autres voies de circulation dans la région de Whitehorse.

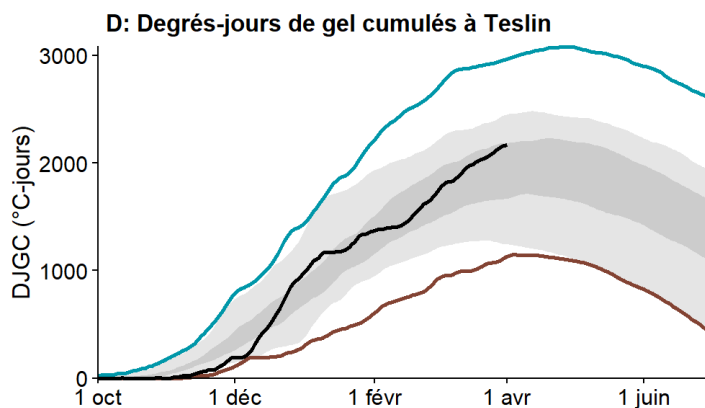
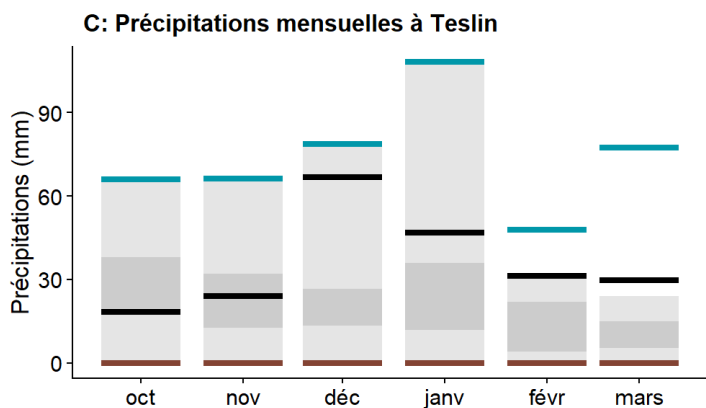


BASSIN DES RIVIÈRES TESLIN ET BIG SALMON

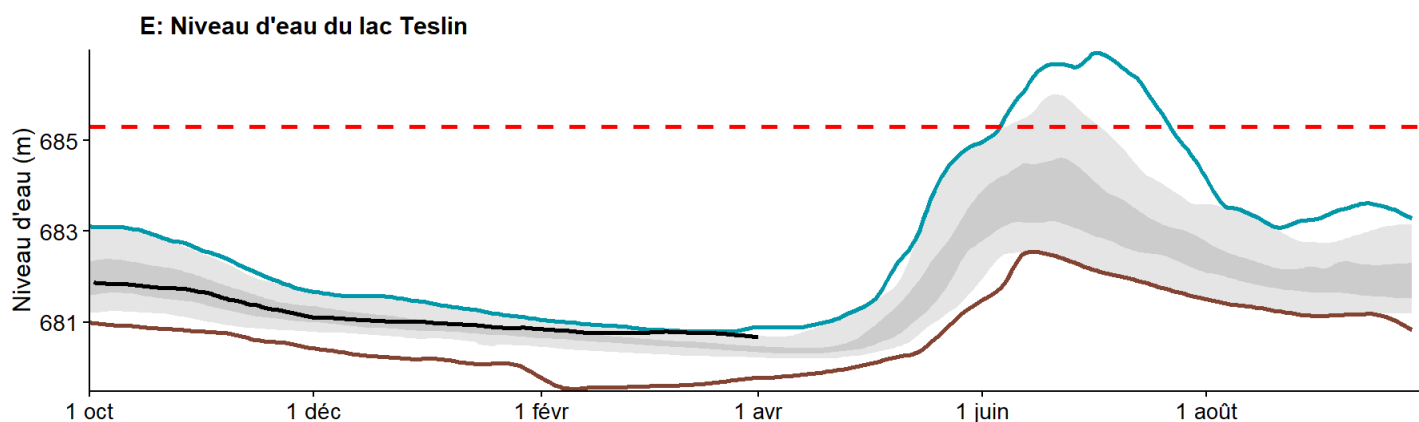
L'accumulation de neige dans le bassin est **bien supérieure à la normale**. Au 1^{er} avril, l'équivalent en eau de la neige moyen du bassin est estimé à **153 %** de la normale, soit **274 mm** (figure B).



Les précipitations à Teslin ont été **bien supérieures à la normale** d'octobre à mars (figure C). Au 1^{er} avril, les précipitations hivernales cumulatives se chiffrent à **187 %** de la normale et les degrés-jours de gel cumulés à **117 %** de la normale, soit **2 168 °C-jours** (figure D), ce qui laisse croire que l'épaisseur de la glace sur les lacs et les cours d'eau de la région est supérieure à la normale.

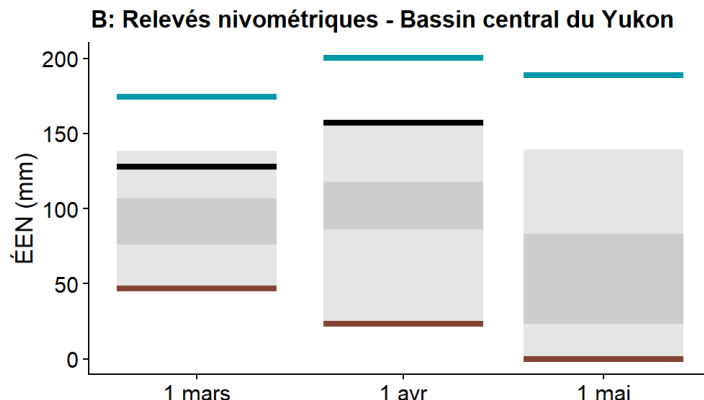


L'élévation de la surface de l'eau (par rapport au niveau de la mer) du lac Teslin est **bien supérieure à la normale** (figure C). Principalement influencé par la fonte des neiges, le lac atteint généralement son niveau maximal vers la fin juin. L'accumulation de neige **bien supérieure à la normale** et le niveau d'eau **bien supérieur à la normale** portent à croire que les niveaux estivaux seront **bien supérieurs à la normale**. Une accumulation d'une telle ampleur a, dans le passé, été la cause d'inondations à Teslin. Toutefois, Les niveaux d'eau maximaux dépendront de la situation météorologique du printemps. Des températures douces ou des précipitations donneraient lieu à des débits de pointe et de ruissellement élevés, notamment dans les cours d'eau qui traversent la route de l'Alaska et la route Canol Sud.

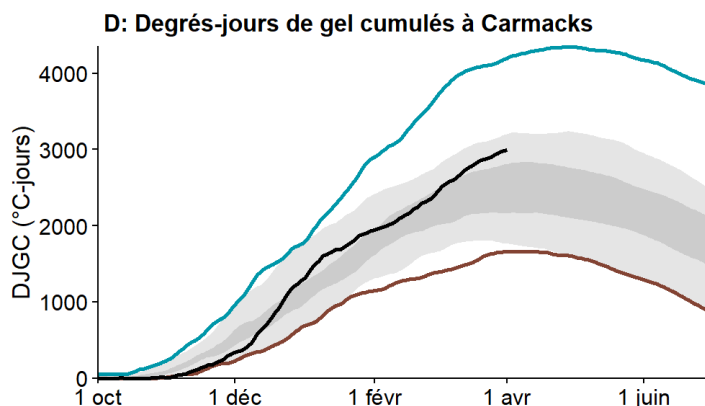
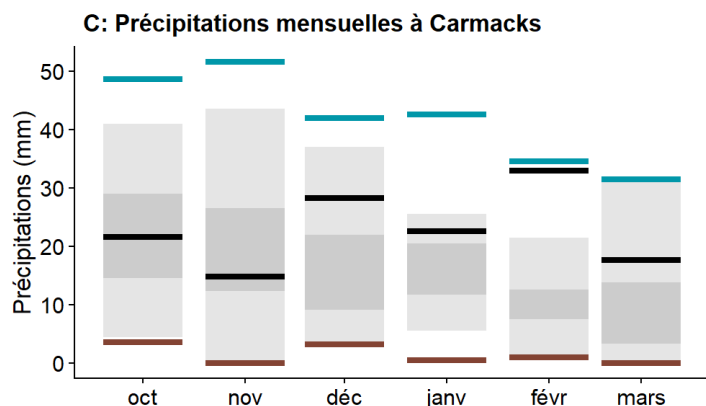


BASSIN CENTRAL DU FLEUVE YUKON (RÉGION DE CARMACKS)

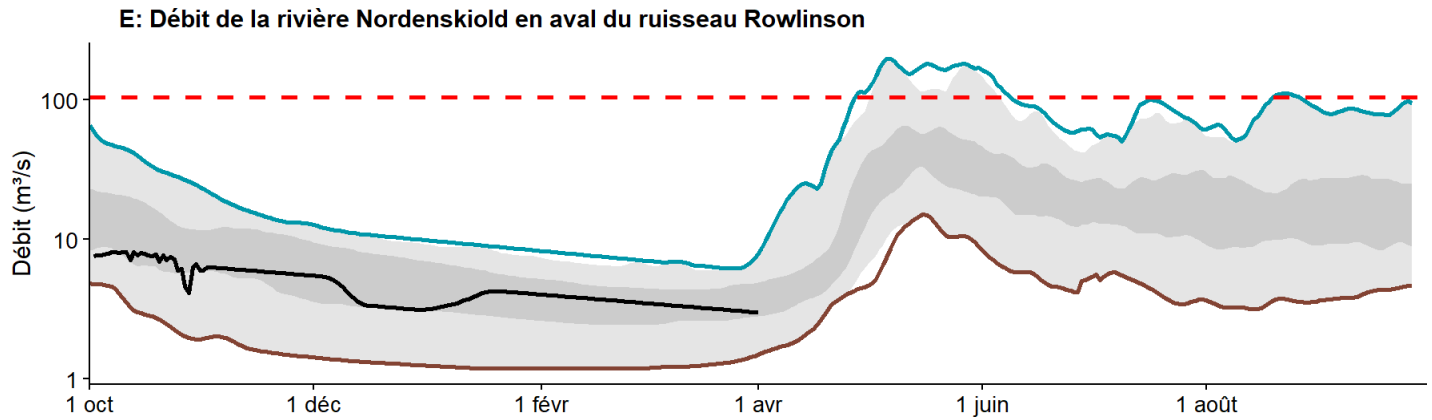
L'accumulation de neige dans le bassin central du fleuve Yukon est **bien supérieure à la normale**. Au 1^{er} avril, l'équivalent en eau de la neige moyen du bassin est estimé à **158 %** de la normale, soit **157 mm** (figure B).



Les précipitations à Carmacks ont été **bien supérieures à la normale** d'octobre à mars (figure C). Au 1^{er} avril, les précipitations hivernales cumulatives se chiffrent à **148 %** de la normale et les degrés-jours de gel cumulés à **115 %** de la normale, soit **2 998 °C-jours** (figure D), ce qui laisse croire que l'épaisseur de la glace sur les lacs et les cours d'eau de la région est supérieure à la normale.

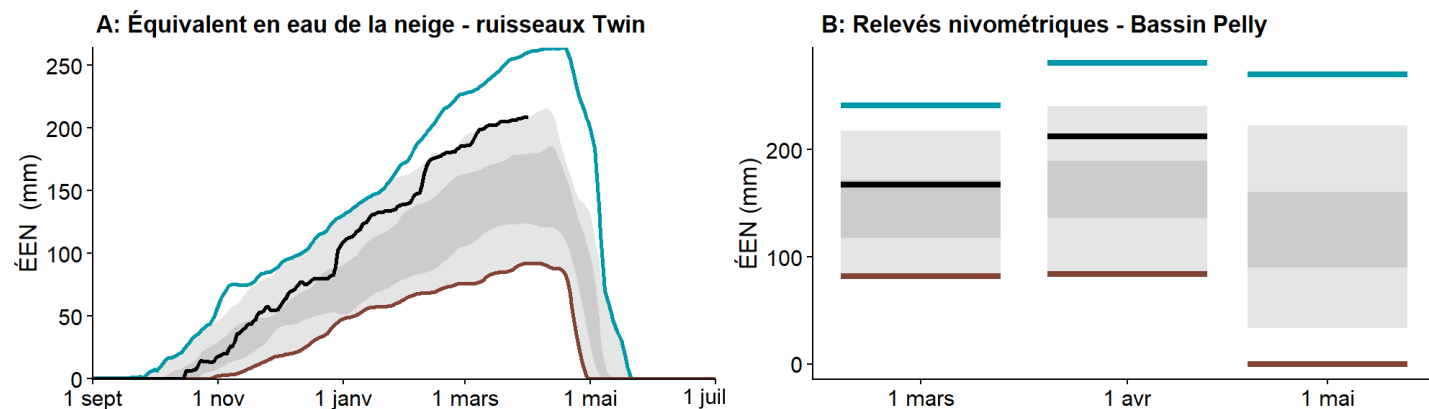


Le débit estimé de la rivière Nordenskiöld est **inférieur à la normale** (figure E). L'accumulation de neige **bien supérieure à la normale**, combinée à des débits hivernaux **inférieurs à la normale** dans le bassin, laisse croire que le volume de ruissellement des crues printanières sera **bien supérieur à la normale**, notamment pour les cours d'eau qui croisent la route du Klondike Nord et la route Robert-Campbell. Avant que cela se produise, une hausse soudaine et soutenue de la température de l'air pourrait favoriser la formation d'embâcles.

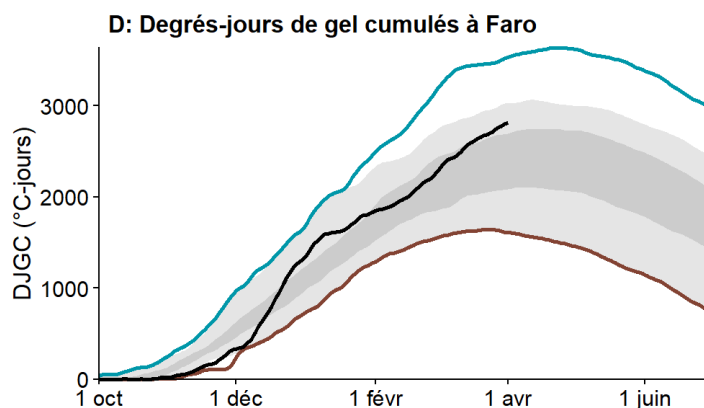


BASSIN DE LA RIVIÈRE PELLY

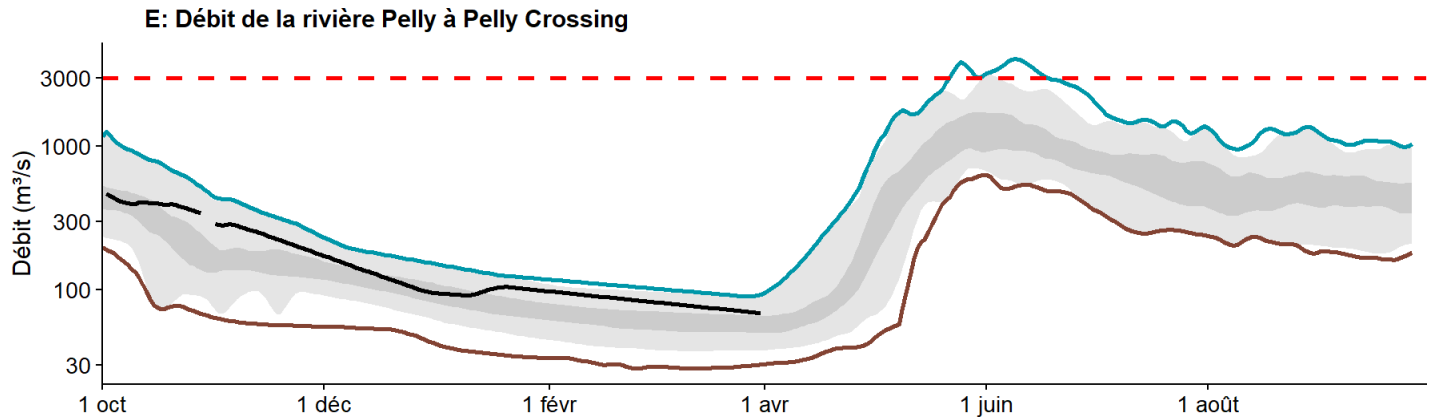
L'accumulation de neige dans le bassin de la rivière Pelly est **supérieure à la normale**. À la station météorologique des ruisseaux Twin, l'équivalent en eau de la neige (ÉEN) est estimé à **150 %** de la normale (figure A). Au 1^{er} avril, l'ÉEN moyen du bassin est estimé à **127 %** de la normale, soit **213 mm** (figure B).



Il n'y a pas de données de précipitations pour Faro, mais les données sur l'accumulation de neige indiquent que les précipitations hivernales ont été **supérieures à la normale**. Au 1^{er} avril, les degrés-jours de gel cumulés se chiffrent à **114 %** de la normale, soit **2 813 °C-jours** (figure C), ce qui laisse croire que l'épaisseur de la glace sur les lacs et les cours d'eau de la région est supérieure de la normale.

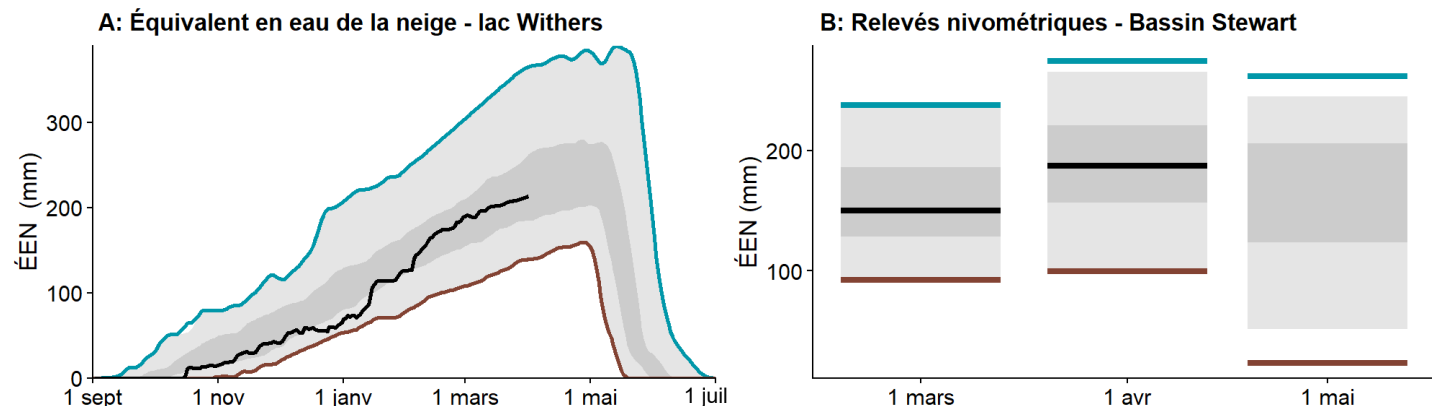


Le débit estimé de la rivière Pelly à Pelly Crossing est **bien supérieur à la normale** (figure E). L'accumulation de neige **supérieure à la normale**, combinée à des débits hivernaux **bien supérieurs à la normale** dans le bassin, laisse croire que le volume de ruissellement des crues printanières sera **supérieur à la normale**, notamment pour les cours d'eau qui croisent la route Robert-Campbell et la route Canol. Avant que cela se produise, une hausse soudaine et soutenue de la température de l'air pourrait favoriser la formation d'embâcles.

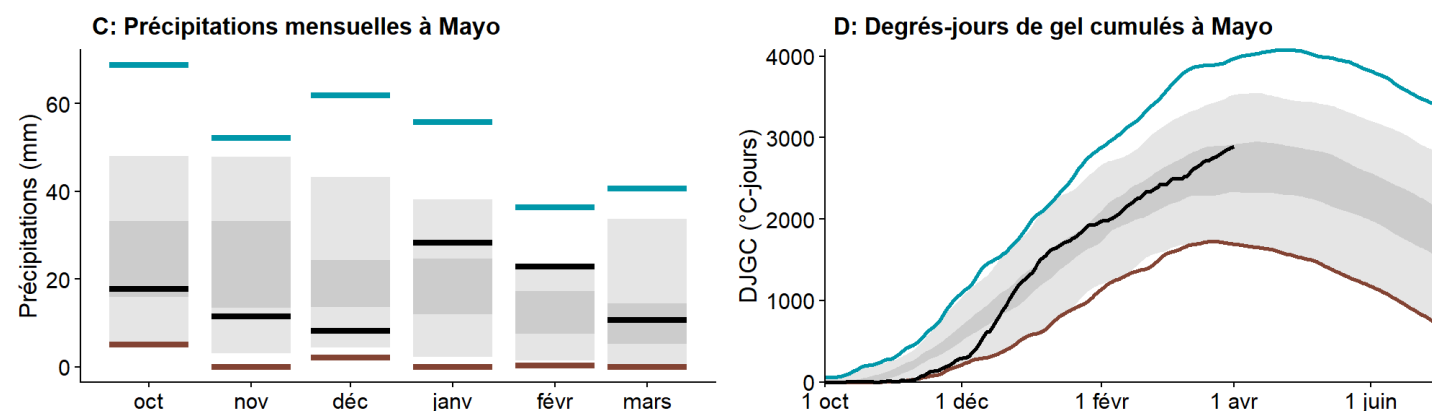


BASSIN DE LA RIVIÈRE STEWART

L'accumulation de neige dans le bassin de la rivière Stewart est **près de la normale**. À la station météorologique du lac Withers, l'équivalent en eau de la neige (ÉEN) est estimé à **107 %** de la normale (figure A). Au 1^{er} avril, l'ÉEN moyen du bassin est estimé à **108 %** de la normale, soit **187 mm** (figure B).

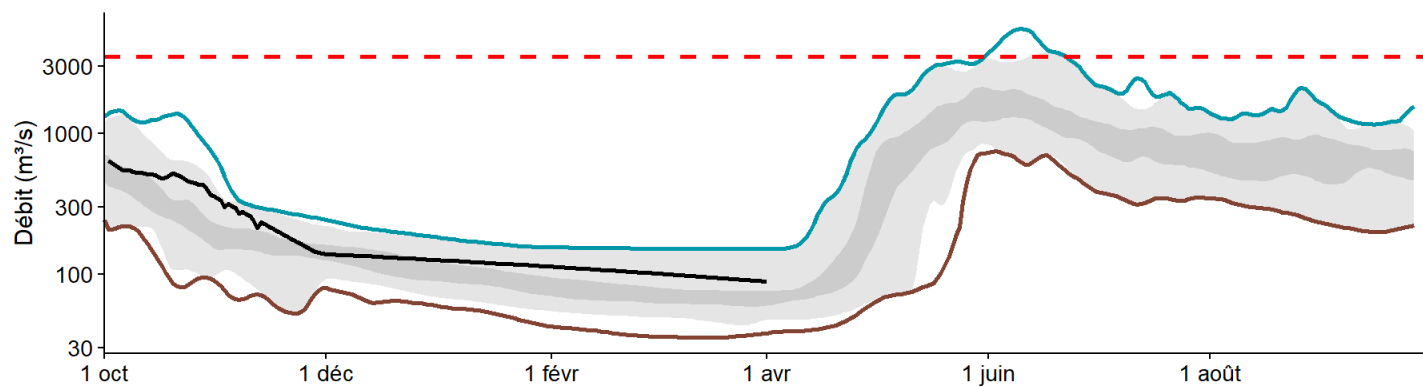


Les précipitations à Mayo ont été **près de la normale** d'octobre à mars (figure C). Au 1^{er} avril, les précipitations hivernales cumulées se chiffrent à **91 %** de la normale et les degrés-jours de gel cumulés à **104 %** de la normale, soit **2 890 °C-jours** (figure D), ce qui laisse croire que l'épaisseur de la glace sur les lacs et les cours d'eau de la région est près de la normale.



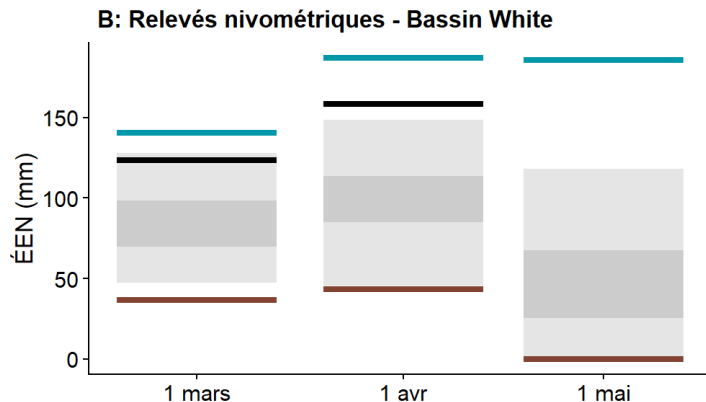
Le débit estimé de la rivière Stewart à son exécutoire est **bien supérieur à la normale** (figure E). L'accumulation de neige **près de la normale**, combinée à des débits hivernaux **bien supérieurs à la normale** dans le bassin, laisse croire que le volume de ruissellement des crues printanières sera **près de la normale**. Des anomalies climatiques pendant la crue printanière pourraient donner lieu à des niveaux d'eau **supérieurs à la moyenne** sur les petits et les moyens cours d'eau. Avant que cela se produise, une hausse soudaine et soutenue de la température de l'air pourrait favoriser la formation d'embâcles.

E: Débit à l'embouchure de la rivière Stewart

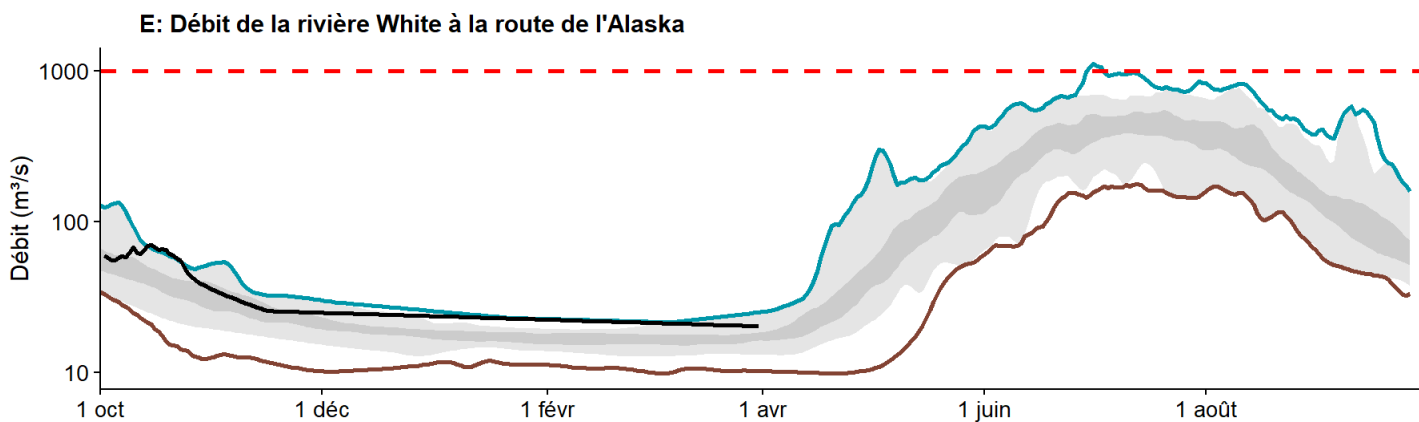


BASSIN DE LA RIVIÈRE WHITE

L'accumulation de neige dans le bassin de la rivière White est **bien supérieure à la normale**. Au 1^{er} avril, l'équivalent en eau de la neige moyen du bassin est estimé à **164 %** de la normale, soit **159 mm** (figure B).

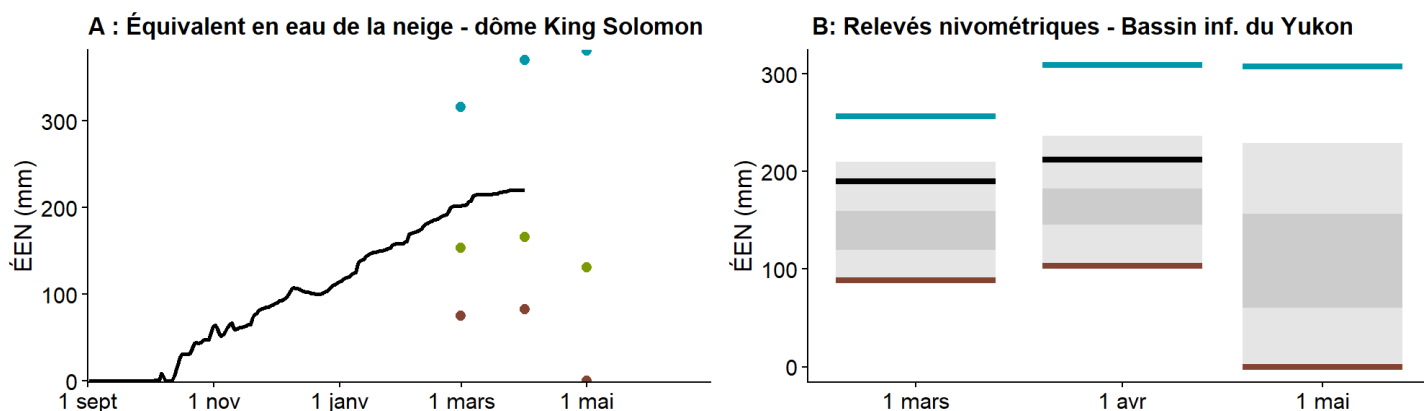


Le débit estimé de la rivière White à la route de l'Alaska est **bien supérieur à la normale** (figure E). Dans ce bassin hydrographique, les débits élevés sont dominés par la fonte des neiges en montagne et la fonte des glaciers, qui sont largement influencés par les températures et les précipitations estivales. L'accumulation de neige **bien supérieure à la normale**, combinée à des débits hivernaux **bien supérieurs à la normale**, laisse croire que le volume de ruissellement des crues printanières sera **bien supérieur à la normale**. Un temps doux ou des précipitations donneraient lieu à des débits de pointe et de ruissellement élevés, notamment dans les cours d'eau qui croisent la route de l'Alaska dans la région de Kluane.

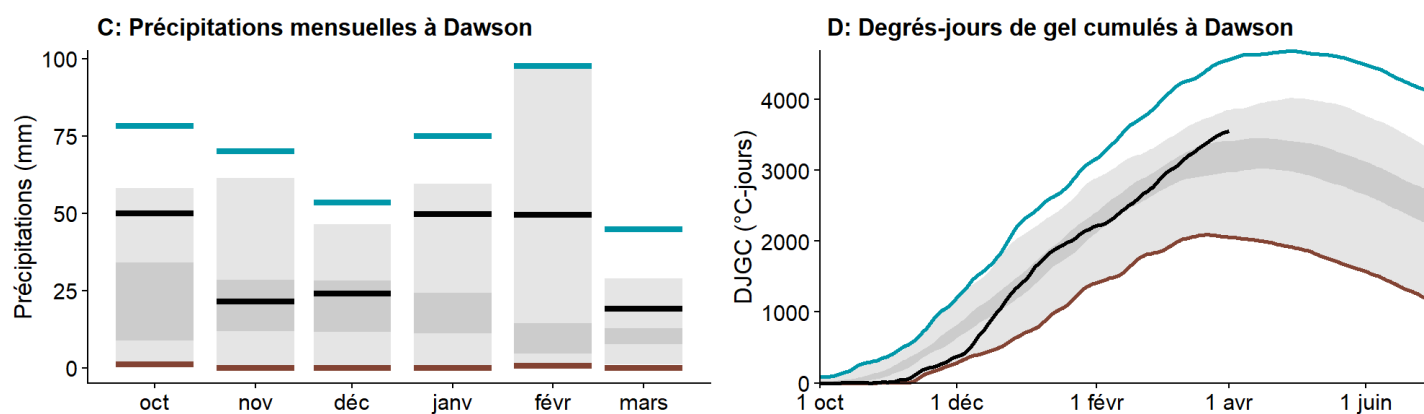


BASSIN INFÉRIEUR DU FLEUVE YUKON (RÉGION DE DAWSON / DU KLONDIKE)

L'accumulation de neige dans le bassin inférieur du fleuve Yukon est **supérieure à la normale**. Installée en 2022, la station météorologique du dôme King Solomon a enregistré un équivalent en eau de la neige (ÉEN) de **125 %** de la normale par rapport aux relevés nivométriques manuels pour cet emplacement (figure A). Au 1^{er} avril, l'ÉEN moyen du bassin est estimé à **132 %** de la normale, soit **212 mm** (figure B).

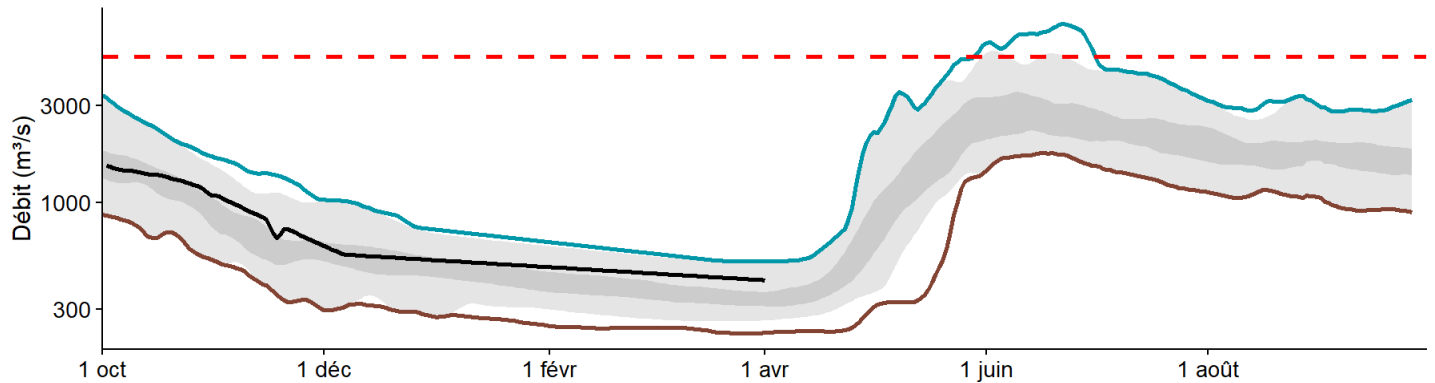


Les précipitations à l'aéroport de Dawson ont été **bien supérieures à la normale** d'octobre à mars (figure D). Au 1^{er} avril, les précipitations hivernales cumulatives se chiffrent à **207 %** de la normale et les degrés-jours de gel cumulés à **111 %** de la normale, soit **3 552 °C-jours** (figure D), ce qui laisse croire que la couverture de glace sur les lacs et les cours d'eau de la région est plus épaisse que la normale.

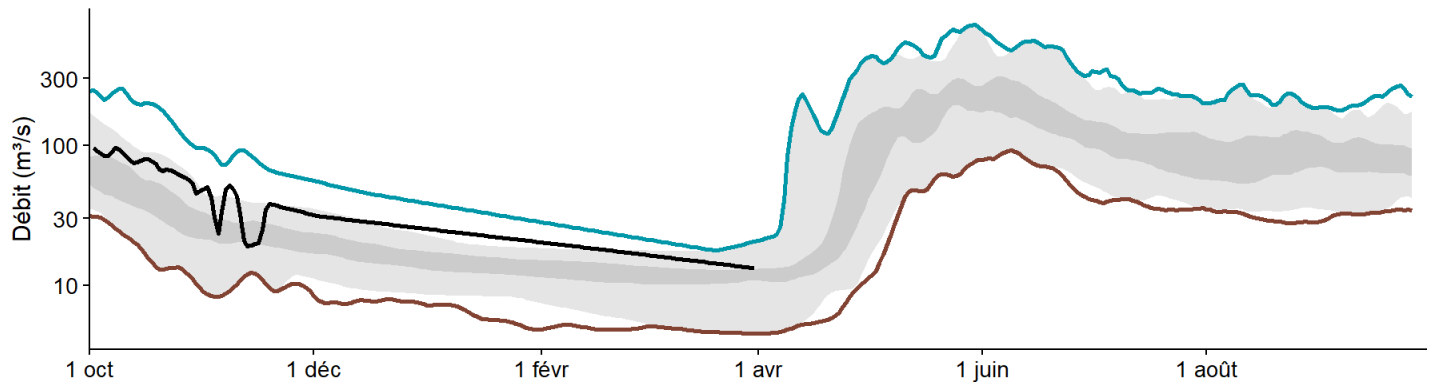


Le débit estimé du fleuve Yukon en amont de la rivière White est **bien supérieur à la normale** (figure E1) tandis que le débit estimé de la rivière Klondike en amont du ruisseau Bonanza est **supérieur à la normale** (figure E2). Pour le fleuve Yukon, l'accumulation de neige **supérieure à la normale** en amont, combinée à des débits hivernaux **bien supérieurs à la normale**, laisse croire que le volume de ruissellement des crues printanières sera **supérieur à la normale**. Pour la rivière Klondike, l'accumulation de neige **supérieure à la normale**, combinée à des débits hivernaux **supérieurs à la normale**, laisse croire que le volume de ruissellement des crues printanières sera **supérieur à la normale**, notamment pour les cours d'eau qui croisent la route du Klondike, la route Dempster et la route Top of the World. Avant que cela se produise, une hausse soudaine et soutenue de la température de l'air pourrait favoriser la formation d'embâcles majeurs.

E1: Débit du fleuve Yukon en amont de la rivière White

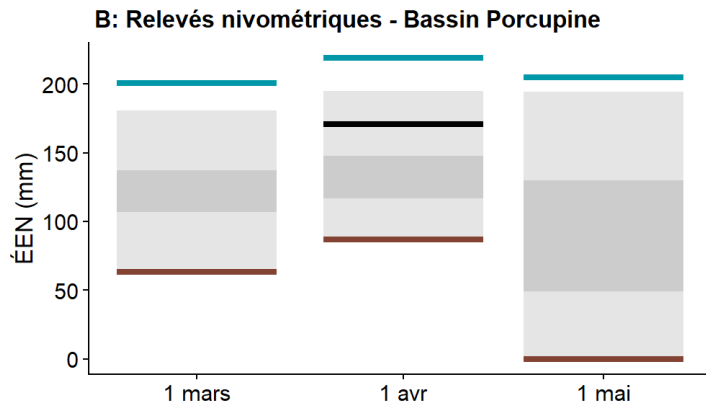


E2: Débit de la rivière Klondike en amont du ruisseau Bonanza

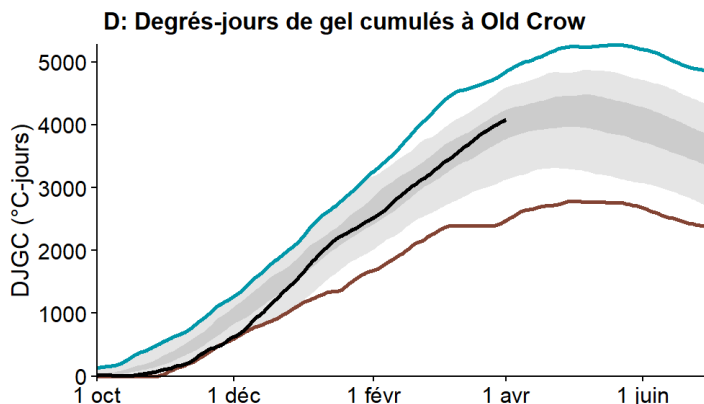
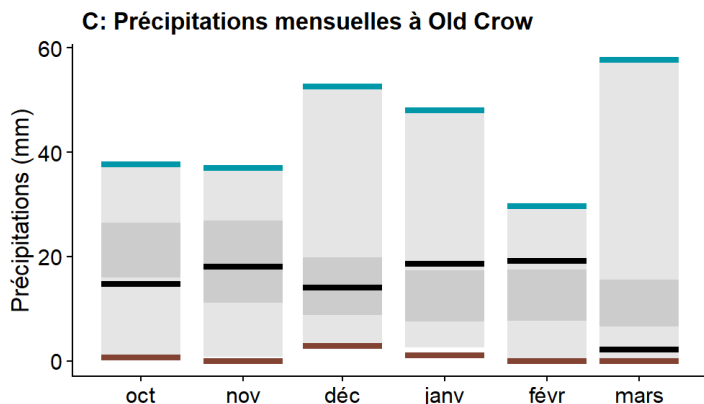


BASSIN DE LA RIVIÈRE PORCUPINE

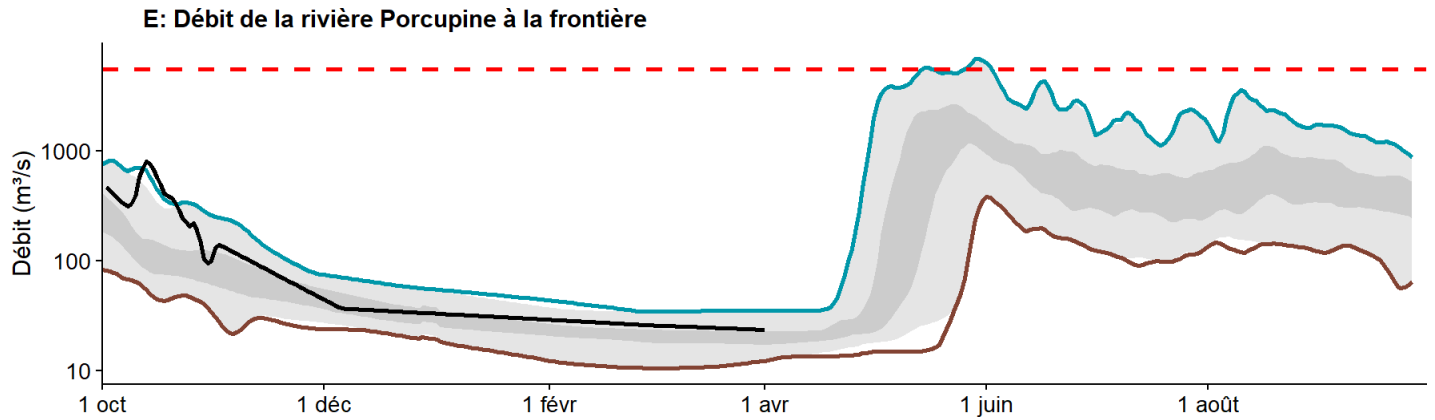
L'accumulation de neige dans le bassin de la rivière Porcupine est **supérieure à la normale**. Au 1^{er} avril, l'équivalent en eau de la neige moyen du bassin est estimé à **125 %** de la normale, soit **171 mm** (figure B).



Les précipitations à l'aéroport d'Old Crow ont été **près de la normale** d'octobre à mars (figure C). Au 1^{er} avril, les précipitations hivernales cumulatives se chiffrent à **94 %** de la normale et les degrés-jours de gel cumulés à **102 %** de la normale, soit **4 077 °C-jours** (figure D), ce qui laisse croire que l'épaisseur de la glace sur les lacs et les cours d'eau de la région est dans la normale.

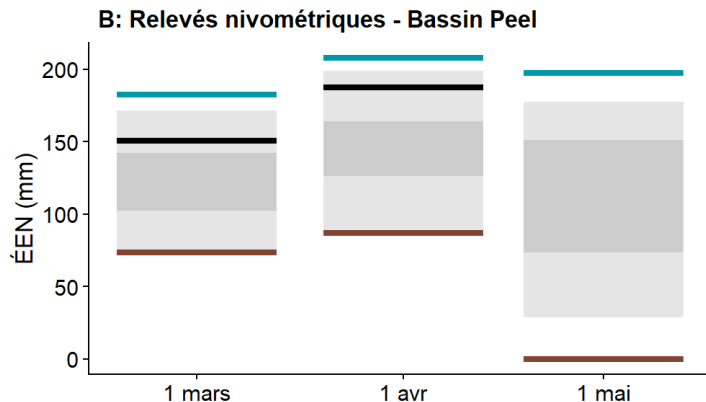


Il n'y pas d'estimation du débit de la rivière Porcupine à l'heure actuelle; il sera mesuré peu après la publication du présent bulletin. Toutefois, il était **supérieur à la normale** au 1^{er} mars (figure E). L'accumulation de neige **supérieure à la normale** dans le bassin, laisse croire que le volume de ruissellement des crues printanières sera aussi **supérieur à la normale**, notamment pour les cours d'eau qui croisent la route Dempster. Avant que cela se produise, une hausse soudaine et soutenue de la température de l'air pourrait favoriser la formation d'embâcles majeurs.

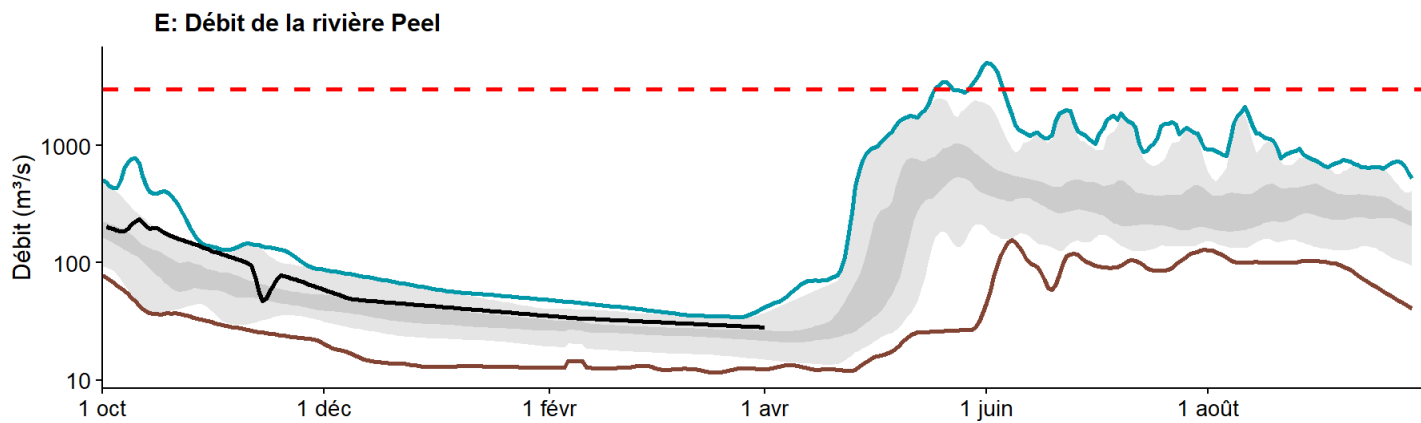


BASSIN DE LA RIVIÈRE PEEL

L'accumulation de neige dans le bassin de la rivière est **bien supérieure à la normale**. Au 1^{er} avril, l'équivalent en eau de la neige moyen du bassin est estimé à **137 %** de la normale, soit **187 mm** (figure B).

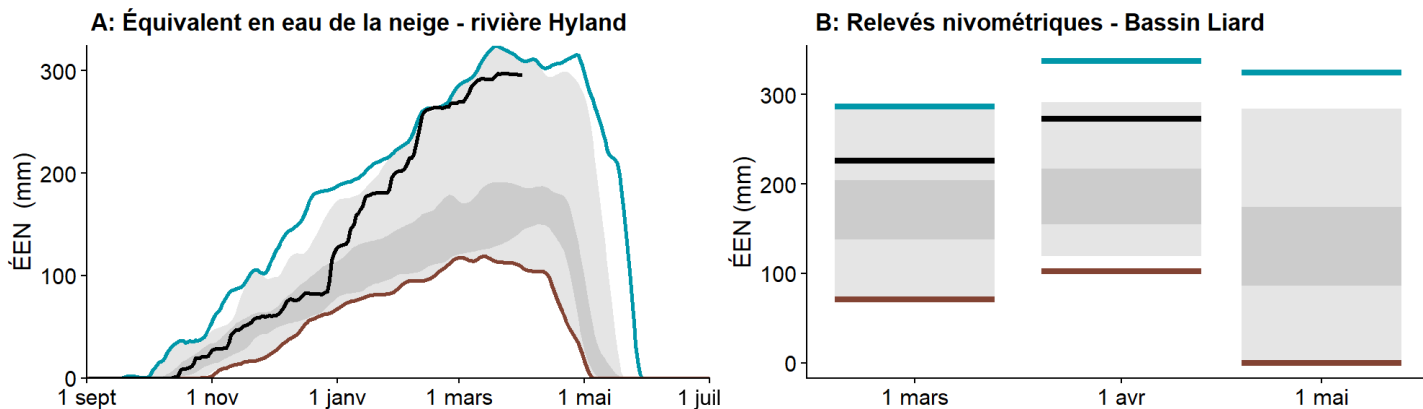


Le débit estimé de la rivière Peel est **supérieur à la normale** (figure E). L'accumulation de neige **bien supérieure à la normale**, combinée à des débits hivernaux **supérieurs à la normale**, laisse croire que le volume de ruissellement des crues printanières sera **bien supérieur à la normale**, notamment pour les cours d'eau qui croisent la route Dempster.

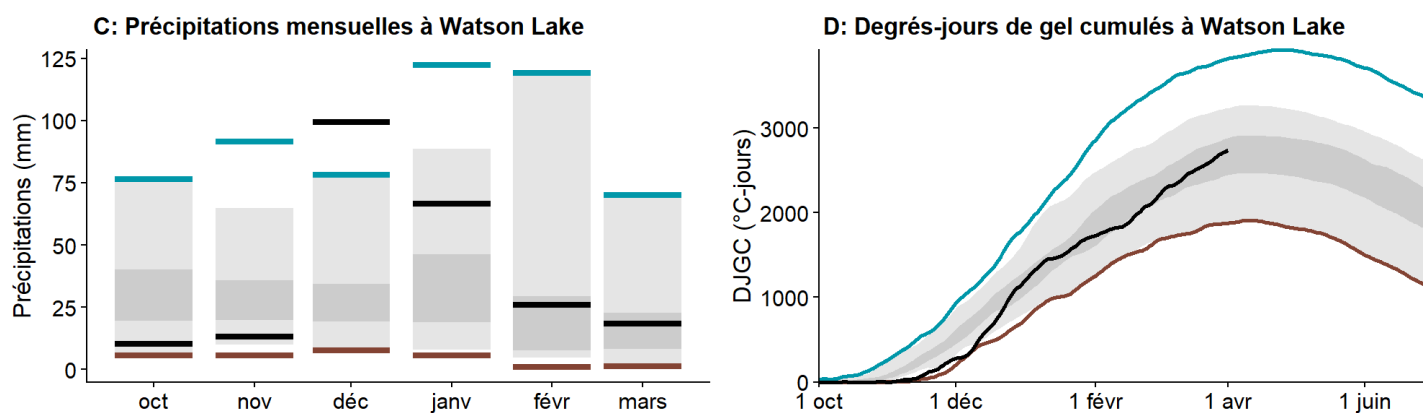


BASSIN DE LA RIVIÈRE LIARD

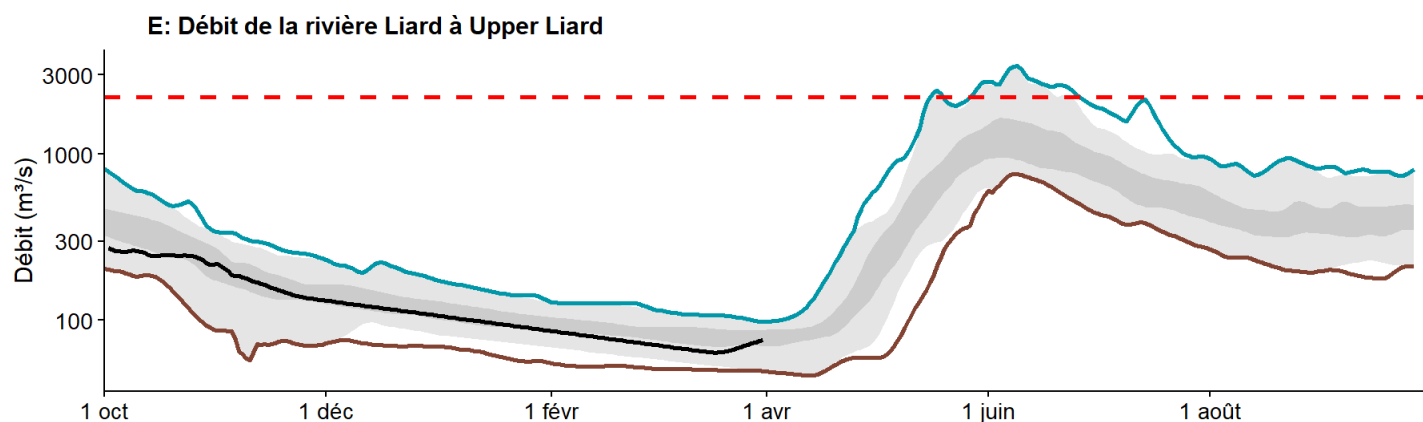
L'accumulation de neige dans le bassin de la rivière Liard est **bien supérieure à la normale**. À la station météorologique Hyland, l'équivalent en eau de la neige (ÉEN) est estimé à **186 %** de la normale (figure A). Au 1^{er} avril, l'ÉEN moyen du bassin est estimé à **155 %** de la normale, soit **273 mm** (figure B).



Les précipitations à l'aéroport de Watson Lake ont été **bien supérieures à la normale** d'octobre à mars (figure C). Au 1^{er} avril, les précipitations hivernales cumulatives se chiffrent à **136 %** de la normale et les degrés-jours de gel cumulés à **106 %** de la normale, soit **2 737 °C-jours** (figure D), ce qui laisse croire que l'épaisseur de la glace sur les lacs et les cours d'eau de la région est près de la normale.

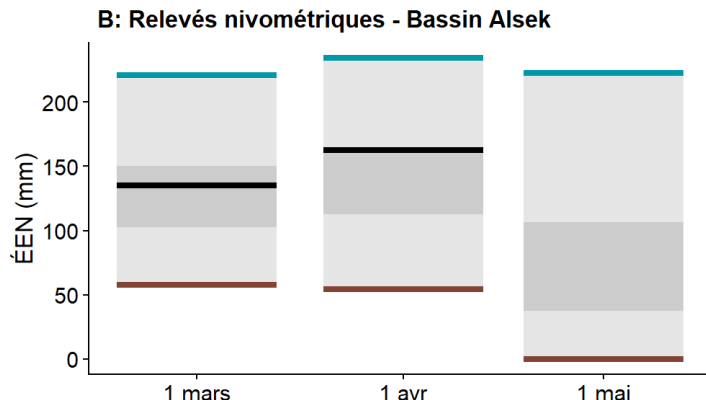


Le débit estimé de la rivière Liard à Upper Liard est **près de la normale** (figure E). L'accumulation de neige **bien supérieure à la normale** dans le bassin, combinée à des débits hivernaux **près de la normale**, laisse croire que le volume de ruissellement des crues printanières sera **bien supérieur à la normale**, notamment pour les cours d'eau qui croisent la route de l'Alaska et la route Robert-Campbell.



BASSIN DU FLEUVE ELSEK

L'accumulation de neige dans le bassin du fleuve Alsek est **supérieure à la normale**. Au 1^{er} avril, l'équivalent en eau de la neige (ÉEN) moyen du bassin est estimé à **120 %** de la normale, soit **162 mm** (figure B).



Le débit estimé du fleuve Alsek est **près de la normale** (figure E). Les débits élevés dans ce bassin sont dominés par la fonte des neiges en montagne et la fonte des glaciers, qui sont largement influencées par les températures et les précipitations estivales. L'accumulation de neige dans les monts St. Elias entraînera vraisemblablement des volumes de crue **supérieurs à la normale**. Des températures douces ou des précipitations donneraient lieu à des débits de pointe et de ruissellement élevés, notamment dans les cours d'eau qui croisent la route de l'Alaska et la route de Haines.

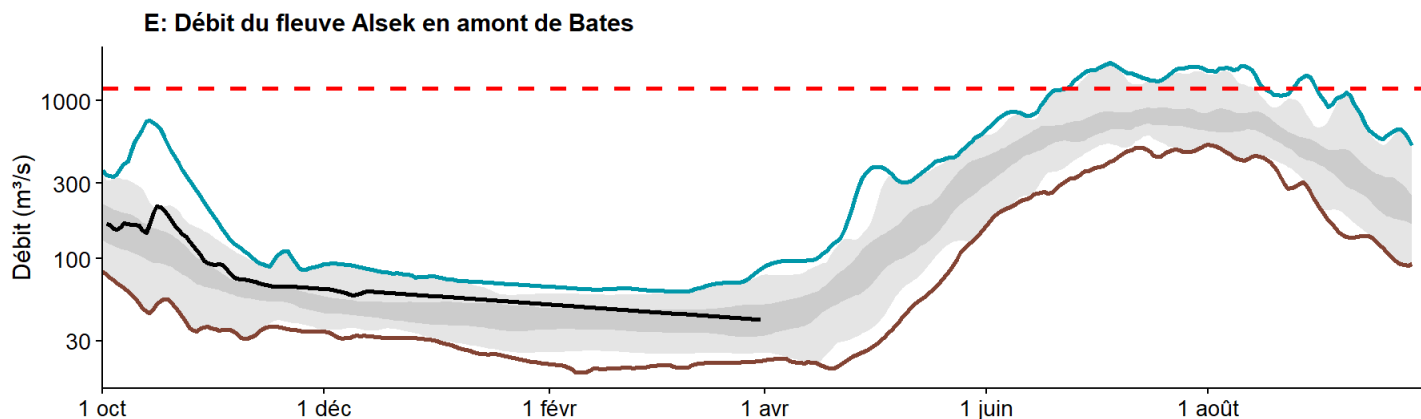


TABLEAU 1. RÉSULTATS DES RELEVÉS NIVOMÉTRIQUES PAR BASSIN HYDROGRAPHIQUE

Nom	Code	Élévation (m)	Date du relevé (mm-jj)	Épaisseur de neige (cm)	Équivalent en eau (ÉEN, mm)	% de l'ÉEN médian	Année dernière (ÉEN, mm)	ÉEN médian historique (mm)	Nombre d'années avec données
Bassin supérieur du fleuve Yukon									
Tagish	09AA-SC01	1 080	03-31	98	220	147	147	150	51
Mont Montana	09AA-SC02	1 020	04-01	90	203	140	108	145	50
Log Cabin (C.-B.)	09AA-SC03	884	03-27	155	461	125	314	370	66
Atlin (C.-B.)	09AA-SC04	730	03-26	82	171	153	104	112	61
Mont McIntyre	09AB-SC01B	1 097	03-31	100	261	167	156	156	50
Aéroport de Whitehorse	09AB-SC02	745	03-30	81	199	195	107	102 C	59 C
Bassin des rivières Teslin et Big Salmon									
Ruisseau Meadow	09AD-SC01	1 235	03-27	142	376	136	278	277	50
Lac Jordan	09AD-SC02	930	04-01	88	202	152	109	133	39
Lac Morley	09AE-SC01	824	03-30	102	254 R	169	168	150	39
Piste d'atterrissage Pine Lake	10AA-SC03	995	03-26	127	342	152	230	225	50
Bassin central du fleuve Yukon									
Mont Berdoe	09AH-SC01	1 035	03-30	80	169	166	87	102	50
Lac Satasha	09AH-SC03	1 106	03-30	80	172 R	179	88	96	39
Ruisseau Williams	09AH-SC04	914	03-30	68	146	149	93	98	30
Bassin de la rivière Pelly									
Ruisseaux Twin	09BA-SC02	896	03-31	104	243	131	172	185 C	48 C
Rivière Hoole	09BA-SC03	1 036	04-01	106	234	168	83	139	49
Lac Burns	09BA-SC04	1 112	04-01	122	309	134	204	230	40
Piste d'atterrissage Finlayson	09BA-SC05	988	04-01	73	150	147	88	102	39
Lac Fuller	09BB-SC03	1 126	03-31	90	207	108	136	192	39
Lac Russell	09BB-SC04	1 060	03-31	113	257	116	219	222	39
Ruisseau Rose	09BC-SC01	1 080	03-30	90	187	163	114	115	32
Ferme Pelly	09CD-SC03	472	03-28	51	113	140	128	81	40
Bassin de la rivière Stewart									
Piste d'atterrissage Plata	09DA-SC01	830	03-31	90	191	102	187	188	48
Lac Withers	09DB-SC01	975	03-31	96	215	96	231	224	40
Lac Rackla	09DB-SC02	1 040	03-31	85	151	79	155	190	39
Aéroport de Mayo	09DC-SC01	548	03-27	57	113	122	89	93	56
Lac Edwards	09DC-SC02	830	03-31	81	155	99	152	156	39
Calumet	09DD-SC01	1 310	03-27	90	205	110	170	186	48

Nom	Code	Élévation (m)	Date du relevé (mm-jj)	Épaisseur de neige (cm)	Équivalent en eau (ÉEN, mm)	% de l'ÉEN médian	Année dernière (ÉEN, mm)	ÉEN médian historique (mm)	Nombre d'années avec données
Bassin de la rivière White									
Mont Nansen	09CA-SC01	1 021	03-30	58	116	149	65	78	50
MacIntosh	09CA-SC02	1 160	03-30	78	155	158	83	98	50
Piste d'atterrissage Burwash	09CA-SC03	810	03-26	40	71	154	30	46	49
Beaver Creek	09CB-SC01	655	03-26	83	164	200	109	82	51
Mont Chair	09CB-SC02	1 067	03-30	86	212 R	216	72	98	35
Ruisseau Casino	09CD-SC01	1 065	03-30	89	195	156	122	125	48
Bassin inférieur du fleuve Yukon									
Dôme King Solomon	09EA-SC01	1 070	03-26	102	225	136	229	166	51
Ruisseau Grizzly	09EA-SC02	975	03-27	85	200	116	216	173	51
Dôme Midnight	09EB-SC01	855	03-26	94	221	138	196	160	51
Boundary (Alaska)	09EC-SC02	1 005	04-01	84	198	156	150	127	55
Bassin de la rivière Porcupine									
Riff's Ridge	09FA-SC01	650	03-27	84	204	138	120	148	38
Eagle Plains	09FB-SC01	710	03-27	85	198	119	166	167	42
Rivière Eagle	09FB-SC02	340	03-27	81	183	138	128	133	41
Old Crow	09FD-SC01	299	03-31	68	150	126	129	119	45
Mont Crow	09FD-SC02	440	03-31	66	140	93	151	151	1
Bassin de la rivière Peel									
Rivière Blackstone	10MA-SC01	929	03-27	79	172	159	119	108	50
Rivière Ogilvie	10MA-SC02	595	03-27	84	186	174	111	107	49
Lac Bonnet Plume	10MB-SC01	1 120	03-31	88	193	116	144	166	39
Bassin de la rivière Liard									
Aéroport de Watson Lake	10AA-SC01	685	03-31	96	231	182	123	127	61
Piste d'atterrissage Tintina	10AA-SC02	1 067	04-01	116	298	148	177	202	48
Lac Ford	10AA-SC04	1 110	04-01	103	238	127	149	188	39
Rivière Frances	10AB-SC01	730	03-30	100	237	157	131	151	51
Rivière Hyland	10AD-SC01	880	03-26	112	269	139	186	194 C	49 C
Bassin du fleuve Alsek									
Lac Canyon	08AA-SC01	1 160	03-26	63	120	138	76	87	48
Ruisseau Alder	08AA-SC02	768	03-26	84	191	131	139	146	46
Lac Aishihik	08AA-SC03	945	03-26	66	122	165	75	74	32
Ferme Haines Junction	08AA-SC04	610	03-31	53	101	103	99	98	26
Summit	08AB-SC03	1 000	03-26	107	256	98	256	262	46
Stations nivométriques côtières en Alaska									
Eaglecrest	08AK-SC01	305	04-01	152	460	93	107	492	44
Pont du ruisseau Moore	08AK-SC02	700	03-30	175	597	109	330	546	33

Notes au sujet des dates :

A.R. – Aucun relevé

B – Date du relevé en dehors de la plage d'échantillonnage valide

Notes au sujet de l'ÉEN :

E – Estimation des résultats à partir de la profondeur de neige et des densités moyennes de neige observées dans les relevés historiques de l'emplacement

R – Nouveau record (maximum ou minimum historique)

Notes au sujet de la médiane historique de l'ÉEN et du nombre d'années avec données :

C – Données historiques composites. Les mesures à la station sont combinées avec les données historiques d'un emplacement voisin. La médiane historique tirée des données composites peut inclure des ajustements pour tenir compte de la variation entre les deux emplacements appariés :

- **Aéroport de Whitehorse** (09AB-SC02) combine les données de l'ancien parcours nivométrique situé dans l'enceinte de l'aéroport de Whitehorse avec les nouveaux relevés pris à quelques centaines de mètres à l'ouest de l'aéroport. Deux années de relevés concomitants existent (2023-2024). Le nouveau parcours nivométrique utilise les données historiques de l'ÉEN de l'ancienne station (1965-2022) sans ajustement.
- **Ruisseaux Twin** (09BA-SC02) reflète principalement les données du parcours nivométrique des ruisseaux Twin A, situé à l'extrémité ouest de la piste d'atterrissage Twin Creeks, de 1977 à ce jour. Les données concomitantes prises du côté est de la piste d'atterrissage (ruisseaux Twin B) comblent les relevés manquants sur la période 2017-2020. Six années de relevés concomitants (2016 et 2021-2025) sont utilisées pour ajuster les données historiques de l'ÉEN transférées du parcours B au parcours A (un facteur de correction de 1,201 est appliqué aux données de l'ÉEN de 2017-2020).
- **Aéroport de Mayo** (09DC-SC01) regroupe deux parcours en cinq points. Les résultats actuels consistent en une moyenne simple des deux parcours. La médiane historique est tirée des résultats suivants : les données de 1968-1986 proviennent uniquement de la station 09DC-SC01A (Aéroport de Mayo A); les données de 1987-2025 proviennent de la moyenne des stations 09DC-SC01A et 09DC-SC01B (Aéroport de Mayo B).
- **Rivière Hyland** (10AD-SC01) combine les données de l'ancien parcours nivométrique de la rivière Hyland, situé près de la piste d'atterrissage Hyland River, avec les nouveaux relevés pris à 6 kilomètres au nord de l'ancienne station depuis 2018. Cinq années de relevés concomitants (2018-2022) sont utilisées pour ajuster les données historiques de l'ÉEN transférées de l'ancienne station à la nouvelle station (un facteur de correction de 1,092 est appliqué aux données de l'ÉEN de 1976-2017).

L'**ÉEN médian** utilisé pour calculer le pourcentage de la médiane dans le tableau 1 est basé sur l'ensemble des données historiques de chaque station, y compris les ajustements pour les stations composites. Par conséquent, le pourcentage de l'ÉEN médian dans le tableau 1 peut différer de celui qui figure sur la carte 3.

CARTE 4. STATIONS NIVOMÉTRIQUES

